

1933

İSTANBUL TEKNİK ÜNİVERSİTESİ * FEN BİLİMLERİ ENSTİTÜSÜ

BETONARME ÇERÇEVELERİN
TAŞIMA GÜCÜ

YÜKSEK LİSANS TEZİ

İnş.Müh. Okan İSMAİLOĞLU

Tezin Enstitüye Verildiği Tarih : 16 EYLÜL 1991

Tezin Savunulduğu Tarih : 19 EYLÜL 1991

Tez Danışmanı : Prof.Dr.Nahit KUMBASAR

Diğer Jüri Üyeleri : Doç.Dr. Melike ALTAN

Doç.Dr. Metin AYDOĞAN

ÖNSÖZ

Lisans ve Yüksek Lisans eğitimi ile Yüksek Lisans tezimin hazırlanmasında değerli bilgilerinden yararlandığım Hocam Sayın Prof. Dr. Nahit KUMBASAR'a, tezi itina ile daklılo eden Sayın Candan Ayşe ARICA'ya en içten teşekkürlerini borç biliyorum.

Eylül 1991

İns.Müh. Okan İSMAILOĞLU

İÇİNDEKİLER

ÖZET	IV
SUMMARY	V
BÖLÜM 1. GİRİŞ	1
BÖLÜM 2. KESİT TESİRİ-SEKİLDƏĞİŞTİRME BAĞINTILARI	3
2.1. Kesit Tesiri-Sekildeğiştirme Bağıntılarının Çıkarılması	3
2.2. Eğilme Momenti ve Normal Kuvvet Etkisindeki Çubuklar	3
2.3. Kesit Tesiri-Sekildeğiştirme Bağıntılarının Çıkarılmasında İzlenen Yol	11
2.4. Bilgisayar Programlarının Yapısı ve Çalışma Düzeni	16
BÖLÜM 3. BETONARME ÇERÇEVELERİN TAŞIMA GÜCÜ	20
3.1. Çerçeve İle İlgili Açıklamalar ve Bilgisayar Programının Kullanılması	20
3.2. Yüklemeler ve Sonuçları	32
BÖLÜM 4. SONUÇLAR	72
KAYNAKLAR	75
ÖZGEÇMİŞ	76

ÖZET

Süper pozisyon ilkesinin geçerli olduğu elastik teoriye göre hesapta, işletme yükünden meydana gelen gerilmeler bulunarak, bu gerilmeler emniyet gerilmesinden küçük olacak şekilde sistem boyutlandırılır.

Gerçekte ise yapı oranti sınırından sonra da yük tasıma devam eder. Dış etkiler artıd belirli bir değere ulaşınca yapı kullanılmaz hale gelir yani göçer. Göçme kırılma, burkulma, büyük yer değiştirmeye, büyük çatlağ gibi olayların biri veya birkaçı ile ortaya çıkar.

Bu çalışmada malzeme bakımından lineer olmayan sistemlerin göçme yüklerinin hesabı için yük artımı metodu verilmistir. Lineer olmayan deformasyonların sistem üzerinde yayıldığı gözönüne alınarak geliştirilen metod, sistemin özelliklerinden bağımsız olup, elastoplastik malzemeden yapılmış bütün çerçevelere uygulanabilir.

Dört bölüm halinde sunulan çalışmaların birinci bölümünde konunun tanıtılması, konu ile ilgili çalışmaların gözden geçirilmesi yer almaktadır.

İkinci bölümde eğilme momenti ve normal kuvvet etkisindeki çubuklarda kesit tesini-şekil değiştirme bağıntıları çıkarılmış ve bu değerlerin hesabı için bilgisayar programı hazırlanmıştır.

Üçüncü bölümde bir önceki bölümde hazırlanan bilgisayar programı ile farklı yatay yükler altındaki çerçeveler çözülmerek bu çerçeveyi mekanizma durumuna getiren yükler bulunmuştur.

Son bölümde bilgisayar programı ile elde edilen çıkışlar gözden geçirilip değerlendirilmiş ve ulaşılan sonuçlar açıklanmıştır.

SUMMARY
LIMIT DESIGN OF REINFORCED
CONCRETE FRAMES

The aim of structural engineering is to realize structures which provide both safety and economy conditions. It is known that these two main factors have considerable effects on each other.

Before the use of computer technology in structural engineering, safety factor was the most important factor in the design of the indefiniteness in the real behaviours of the structures.

Up to date, by reason of both economic conditions and uncommon use of computer technology in structural engineering, structural engineers were used to design structures which have economy factor payment in advance. It is clear that, to realize this thought, the structures have to be designed by methods which consider both material and geometrical non-linearities.

In this study, a method of load increasing is presented for the determination of the collapse loads of non-linear elastoplastic structures.

The non-linear deformations are taken into account as distributed continuously over the structure. The method is independent of the characteristics of the structure; hence is applicable to the elastoplastic framed structures of arbitrary shape.

If the Elastic Theory is used, the superposition rule is applied. Stress from service loads must be smaller than the allowable stress.

In fact, the system is carried the loads after the estimated boundary. But, when the exterior loads is reached a current value, the system is subsided.

In the first chapter is an introduction of the subject. In the second chapter, deflection relations of the rectangular reinforced concrete rods which are loaded by bending moment (M) and normal force (N), are obtained.

In plastic design, the ultimate strength considered is that which brings the frame to the verge of failure or collapse, assuming perfect plastic hinge action.

A member cannot collapse under moment loading (except for buckling) until there are enough actual or plastic hinges to transform it into a mechanism.

If number of plastic hinges is more than degree of hyperstaticity of frame, mechanism takes form. If number of plastic hinges is equal to degree of hyperstaticity of frame, Mechanism cannot takes form yet. When the subsequent plastic hinge takes form, the frame collapses and mechanism takes form.

Plastic hinges absorb energy which external loads produce. We may collect plastic deformation at any one point. Then plastic hinges generally may take form the places which moments have got the bigger value or singular loads exist on the frame; moreover on the crucial point.

If all possible mechanism are investigated, the lowest load factor will be the true one or true collapse load.

The building in shape .3.1..is reduced the frame which shows same behaviors by applying same external force in shape

3.2. After using the method of load increasing, the collapse loads are found. These loads are earthquake or horizontal loads. At the beginning by taking earthquake loads which were found by using static method is started for loading. After, in other steps, these loads are increased proportional. In the third chapter, these loadings can be seen.

Plastic hinge may be existed on the member of frame in two different conditions. One of these conditions is that; if extension of steel in reinforced concrete member is equal 0,01 or much. i.e

$$\varepsilon = \frac{\Delta I}{I} \geq 0,01 \text{ for steel. The other one;}$$

If shortening of concrete in reinforced concrete member is equal 0,003 ~ 0,0035 or much. i.e

$$\varepsilon = \frac{\Delta I}{I} \geq 0,003 \sim 0,0035 \text{ for concrete.}$$

The reduced frame is divided members. After every loading, bending moment (M) and normal force (N) of members of frame are found. Moreover movements which in same direction with loading of crucial points are found.

Firstly, the frame is solved by program named OKAN 23. This program calculates bending moment (M) and normal force (N) for each rod. Moreover this program calculates movement of crucial points of frame. Input datas for this program are:

- 1- Coordinates of crucial points of frame.
- 2- Left and right crucial points oof roads.
- 3- Loads which force to the frame horizontally and vertically.
- 4- Points which these loads act.
- 5- Rigidities of bending of reinforced concrete rods.
- 6- Rigidities of extensions of reinforced concrete rods.

Secondly, program named OKAN5 calculates deflections of the rectangular reinforced concrete rods which are loaded by bending moment (M), and normal force (N). Moreover, this program calculates new rigidity of bending of rod and new rigidity of extension of rod. Moreover, this program calculates shortening of concrete and extensions of steel. Input datas for this program are:

- 1- Fields of steel of rectangular reinforced concrete rods.
- 2- Prism resistance of concrete.
- 3- Steel stress at the instant which steel starts to flow.
- 4- Width of cross section of reinforced concrete rod.
- 5- Length of cross section of reinforced concrete rod.
- 6- Quantity of normal force.
- 7- Quantity of bending moment.
- 8- Value of module of elasticity of steel.
- 9- Proportion of mistake for normal force.
- 10- Proportion of mistake for bending moment.
- 11- Value of S_{100} and given distance for rust.
- 12- Rigidities of bendings and extensions.

If S_{100} is given 1. at input datas, rigidities of bendings and rigidities of extensions are given as datas in input datas. If S_{100} is given a number except 1., then OKAN5 calculates them oneself.

At every loading, in program named OKAN23, as datas, new rigidities of bendings and new rigidities of extensions are given. Because rectangular reinforced concrete rods cracks by rotation. Therefore, value of rigidities of bendings of rods and value of rigidities of extensions of rods become less.

First OKAN5 calculates rotation of rod (χ) and unit extension of rod ($\frac{du}{ds}$).

After, OKAN5 calculates rigidity of bending of rod and rigidity of extension of rod by using these formulas;

$$\chi = \frac{M}{EI} ; EI = \frac{M}{\chi}$$

$$\frac{du}{ds} = \frac{N}{EF} ; EF = \frac{N}{\frac{du}{ds}}$$

Relation of bending moment-rotation consist of three separate region for reinforced concrete rods which are forced by bending moment. We can see that at shape 2.1.

These regions:

L_0 = The situation which cracks starts to take form at the outside pull fiber of reinforced concrete cross section.

L_1 = The situation which plastic form change starts to take form at the steels which pull forces act on it or outside pressure fiber of concrete.

L_2 = The situation which the bending moment equals to maximum carrying capacity of cross section by increasing.

This is value of plastic moment. It is represented M_p . Therefore, concrete in pressure region is crushed and broken or steels which pull force act on it are broken.

L_0 situation:

Relation of stress-deformation ($\sigma=\epsilon$) may be taken linear elastic. We can see that at shape 2.2..

$$M_{L_o} = \sigma_c^* \cdot \frac{Ix}{\eta a}$$

$$\sigma_c = 2 \cdot \sqrt{\sigma_b}$$

$$\sigma_c^* = \frac{0.85}{1.50} \cdot \sigma_c$$

$$\sigma_b^* = \frac{0.85}{1.50} \cdot \sigma_b$$

σ_b = Prism resistance of concrete.

σ_c = Pull resistance of concrete.

σ_c^* = Using pull resistance of concrete in calculation.

σ_b^* = Using prism resistance of concrete in calculation.

At the L_1 situation:

For concrete, plastic form change is accepted to start

$\epsilon \approx 0,002$. For steel, it is accepted to start at the boundary of flow. We can see that at shape 2.3 .

$$\sigma_u = E_b \cdot \epsilon_u \cdot \left(1 - \frac{E_b}{4 \cdot \sigma_b} \cdot \epsilon_u\right) = E_b \cdot \epsilon_u \cdot (1 - 250 \cdot \epsilon_u)$$

$$B_b = \frac{1}{6} \cdot b \cdot \eta_u \cdot (2 \cdot \sigma_u + E_b \cdot \epsilon_u)$$

$$Y_b = \frac{1}{2} \cdot \eta_u \cdot \frac{3 \cdot \sigma_u + E_b \cdot \epsilon_u}{2 \cdot \sigma_u + E_b \cdot \epsilon_u}$$

Total Pressure force;

$$B = B_b + F'_e \cdot \sigma_{eu}$$

Total pull force;

$$C = F_e \cdot \sigma_{ea}$$

At the L₂ situation:

We can see that at shape 2.4..

For steel;

$$\epsilon \leq \epsilon_e \quad \sigma = E \cdot \epsilon$$

$$\epsilon > \epsilon_e \quad \sigma = \sigma_e^*$$

For σ_b^* and σ_e^* , We can see that at shape 2.6.

At this shape, for steel and concrete, relations of stress-deformation ($\sigma-\epsilon$) are given.

$$Y = \frac{2 \cdot \epsilon_o}{\epsilon_u} \cdot \eta_u$$

$$B_b = b \cdot \sigma_b^* \cdot \eta_u \cdot (\eta_u - \frac{1}{3} \cdot y)$$

$$Y_b = \frac{1}{2} \cdot \frac{\eta_u^2 - \frac{1}{6} \cdot y^2}{\eta_u - \frac{1}{3} \cdot y}$$

$$B = B_b + F'_e \cdot \sigma_{eu}$$

$$C = F_e \cdot \sigma_{ea}$$

The program named OKAN5 uses a consecutive approach method. At the beginning of this consecutive approach method, those formulas are used.

$$(\frac{du}{ds})_1 = \frac{N_o}{EF}$$

$$X_1 = \frac{M_o}{EI}$$

If at the end of the method, calculated N_1 is not equal N_o .

Then,

$$\left(\frac{du}{ds}\right)_2 = \frac{N_o}{N_1} \cdot \left(\frac{du}{ds}\right)_1$$

If N_2 is not equal to N_o again; for following steps, that formula is used.

$$\left(\frac{du}{ds}\right)_i = \left(\frac{du}{ds}\right)_{i-1} + \frac{N_o - N_{i-1}}{N_{i-1} - N_{i-2}} \cdot \left[\left(\frac{du}{ds}\right)_{i-1} - \left(\frac{du}{ds}\right)_{i-2} \right]$$

If N_i is equal N_o and M_1 is equal to M_o , calculated χ_1 (rotation) and $\left(\frac{du}{ds}\right)_i$ (unit extension) are real deformations.

If M_1 is not equal to M_o then χ_j is taken as χ_2 ;

$$\chi_2 = \frac{M_o}{M_1} \chi_1$$

Again the program goes to beginning of the consecutive approach method. i.e. Like the former, approach is repeated for N_o . If N_i is equal to N_o and M_2 is equal to M_o , then real rotation χ_2 and real unit extension $\left(\frac{du}{ds}\right)_i$ of cross section of rod which is forced by M_o and N_o is found.

If M_2 is not equal to M_o , then

$$\chi_j = \chi_{j-1} + \frac{M_o - M_{j-1}}{M_{j-1} - M_{j-2}} \cdot (\chi_{j-1} - \chi_{j-2})$$

Approach is repeated. If N_i equals to N_o and M_j is equal to M_o , then the calculation is completed and $\left(\frac{du}{ds}\right)_i$ and χ_j are real deformations.

BÖLÜM 1

GİRİŞ

Gerilme-deformasyon bağıntıları orantı sınırı adı verilen bir sınır gerilmenin altında lineer elastik kabul edilen sistemlere lineer elastik sistemler denilmektedir. Bu sistemlerin deplasmanları da küçük deplasman teorisinin uygulanabileceği kadar küçüktür.

Lineer sistemlerde süperpozisyon kuralı geçerli olduğundan emniyet gerilmesi yöntemine göre hesap yapılmaktadır. Bu yönteme göre hesapta, işletme yükünden meydana gelen gerilmeler bulunarak bu gerilmeler emniyet gerilmesinden küçük olacak şekilde sistem boyutlandırılır.

Gerçekte ise, yapı orantı sınırından sonra da yük taşımaya devam eder. Dış yükler artarak belirli bir değere ulaşınca sistem kullanılmaz hale gelir yani göçer. Göçme kırılma, burkulma, büyük yer değiştirmeye, büyük çatlak gibi olayların biri veya bir kaçının ortaya çıkması ile olusur.

Malzemenin orantı sınırından sonra ki taşıma kapasitesi gözönüne alınarak yapılan hesapta iç kuvvet-şekil değiştirmeye bağıntısı lineer-elastik kabul edilememektedir.

Diğer taraftan, yüksek mukavemetli malzemelerin kullanılması nedeni ile yapılar narinleşir. Bu yapılarda çok kere deplasmanlar yeter derecede küçük olmadığından geometri değişimlerinin denge denklemlerine etkisini ihmali mümkün değildir.

Lineerliği bozan bu iki nedenden dolayı süperpozisyon yapılamayacağından, orantı sınırına karşı gelen yük ile göçme yükü arasında sabit bir oran bulunmamaktadır.

Bu nedenle, emniyet gerilmesi yöntemine göre boyutlandırılan yapıların karşı emniyeti sabit değildir. Sistemin ve malzemenin özellikleri, yükleme şekli gibi çeşitli etkenlere bağlıdır.

Bir yapı sistemi gerçekleştirildirken, göçmeye karşı istenen bir güvenlik sağlanarak, malzemenin lineer-elastik sınırın üstündeki taşıma gücünden faydalanylabilir. Bu güvenlik saptanırken, işletme sırasındaki dış etkiler altında, yapıda meydana gelen yerdeğistirmelerin ve çatılarak kalınlıklarının sınırlı kalmaları istenir, [1].

BÖLÜM 2

KESİT TESİRİ - SEKİL DEĞİŞTİRME BAĞINTILARI

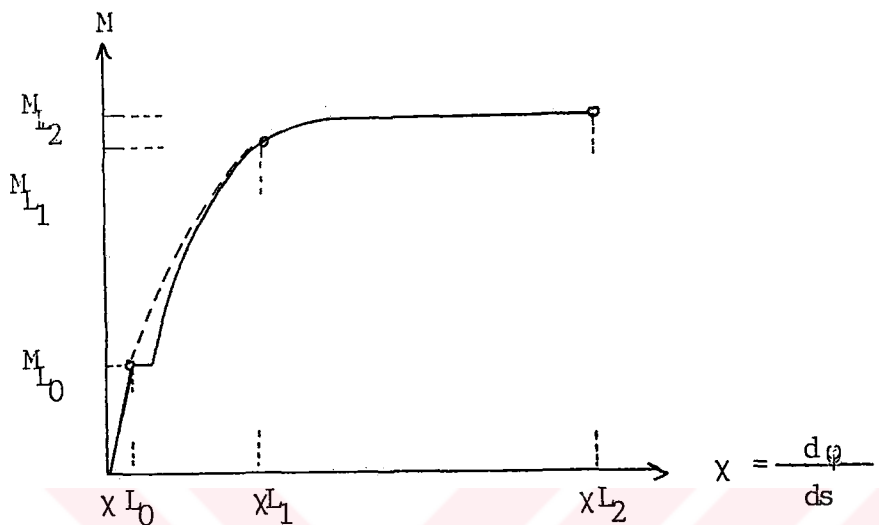
2.1. Kesit Tesiri-Sekil Değiştirme Bağıntılarının Çıkarılması

Lineer olmayan ideal elastoplastik malzemeden yapılmış homogen kesitlet için kesit tesiri-şekil değiştirme bağıntılarının çıkarılması şu kabullere dayanır:

- a) Çubuk elemanın en az bir simetri düzlemi vardır ve kesit tesirleri bu düzlemede etkimektedir.
- b) Düzlem kesitler şekil değiştirmeden sonra vine düzlem kalırlar. (Bernoulli-Navier Hipotezi) Yani deformasyonlar tarafsız eksenden uzaklıklarına bağlı olarak doğrusal diyagramda belirtilebilir.
- c) Beton çeliği ile beton arasında tam bir aderans vardır. Tarafsız eksenden aynı uzaklıktaki beton ve çelikteki deformasyonlar aynıdır.
- d) Betonun çekme gerilmesi olmadığı kabul edilir.
- e) Çubuk elemanın iki boyutu uzunluğu yanında yeter derecede küçüktür. Bu nedenle kesme kuvvetinin eğilme ve uzama şekildeğistirmelerine etkisi ihmal edilir.

2.2. Eğilme Momenti ve Normal Kuvveti Etkisindeki Çubuklar

Eğilme momenti ve normal kuvvet etkisindeki betonarme çubuk elemanlarına ait kesit tesiri-şekildeğistirme bağıntıları üç ayrı bölgeden oluşmaktadır. Bu bölgeleri sınırlayan L_0 , L_1 , L_2 noktalarına karşı gelen durumlar, beton ve çelik için Şekil 2.5, Şekil 2.6 da verilen $\sigma-\epsilon$ diyagramları esas alınarak aşağıda açıklanmıştır, [2].



Şekil 2.1. Eğilme Momenti-Eğrilik Bağıntısı

L_o : Betonarme kesitin dış çekme lifinde çat�akların başladığı durumdur. Dış çekme lifindeki normal gerilme betonun çekme mukavemetine eşit olunca betonda çat�aklar meydana geldiği kabul edilmektedir. Bu duruma ait gerilme yayılışı Şekil 2.4.'deki gibidir. Eğilme momenti etkisindeki kesitlerde betonun çekme mukavemeti A.C.I.'ye göre;

$$\sigma_a = 2\sqrt{\sigma_b} \quad (\sigma_b : \text{Beton prizma mukavemeti}) \quad (2.1)$$

formülü ile hesaplanabilir.

L_o noktasına karşı gelen M_{L0} eğilme momentinin hesabında, beton kesitin homojen olduğu, şekildeğistirdikten sonra düzlem kaldığı kabul edilmekte ve betonun $\sigma-\epsilon$ bağıntısı lineer-elastik olarak kabul edilebilmektedir.

M_{L0} momenti;

$$M_{L0} = \frac{I_x}{n_a} \cdot \sigma_b \cdot \epsilon \quad (2.2)$$

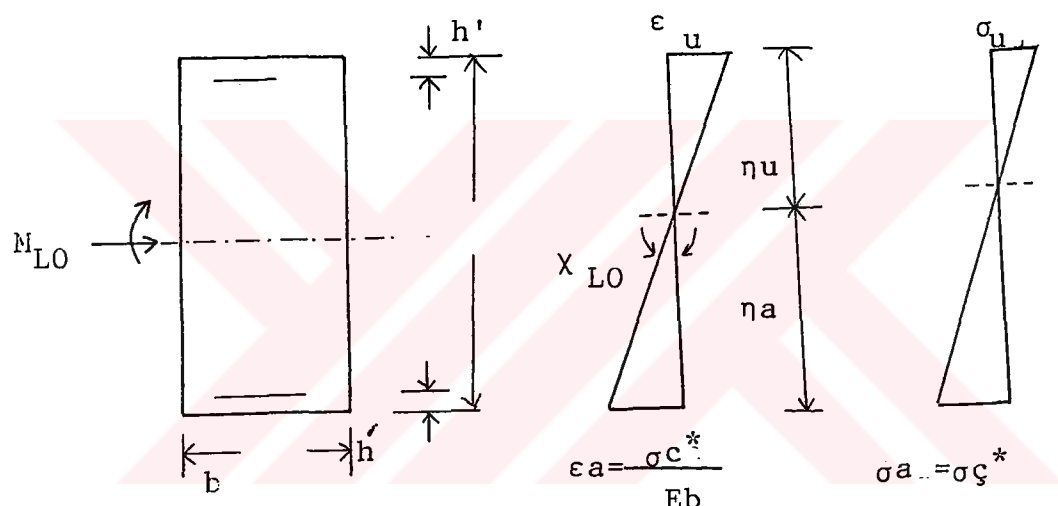
bağıntısı ile hesaplanır. Burada;

I_x : Betonarme kesitin atalet momenti,

η_a : Tarafsız eksenin dış çekme lifinden olan uzaklığı,

$\sigma_{bç}$: Beton çekme mukavemeti.

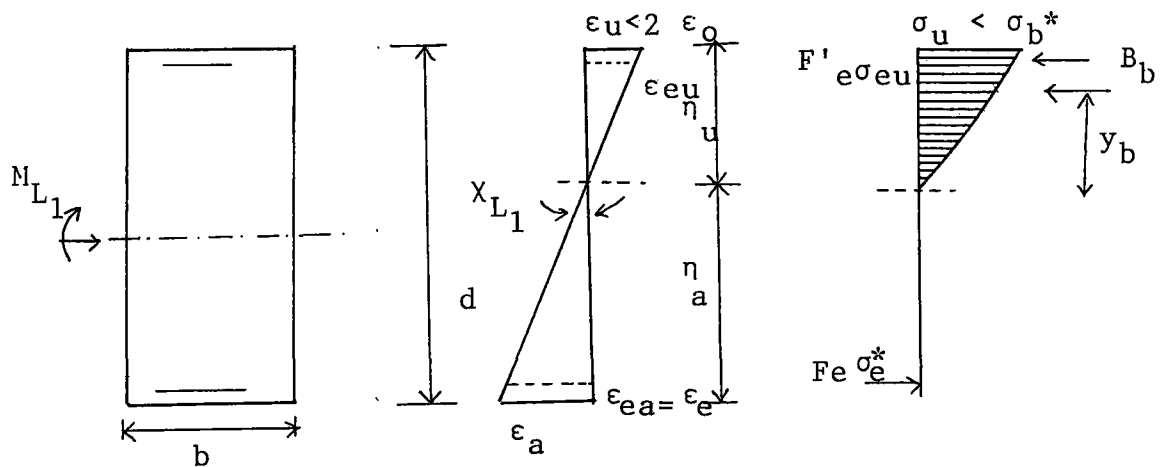
A.C.I., Amerikan Beton Enstitüsünün kısaltılmış yazımıdır.
Aşağıdaki şekilde gerilme yayılışının yanında şekil değiştirmeye durumuda verilmiştir.



Sekil 2.2. Gerilme Yayılışı

L_1 : Çekme donatısında veya betonun dış basınç lifinde plastik şekildeğiştirmelerin başlamasına karşı gelir. Plastik şekildeğiştirmelerin betonda $\epsilon \approx 0,002$ değerinde, çelikte ise akma sınırında başladığı kabul edilmektedir. M_{L1} momentinin hesabında betonun çekme almadığı ve kesitin düzlem kaldığı kabul edilmektedir. Bu duruma karşı gelen gerilme boy değişimi aşağıdaki gibidir.

Eğilme momenti M_{11} sınır değerine eşit olunca beton kesitin dış basınç lifinde plastik şekil değiştirmeler başlamakta veya çekme donatısındaki gerilmeler akma sınırına erişmektedir.



Sekil 2.3. Gerilme Yayılışı

$$\sigma_u = E_b \cdot \epsilon_u \cdot \left(1 - \frac{E_b}{4 \cdot \sigma_b^*} \cdot \epsilon_u\right) = E_b \cdot \epsilon_u \cdot (1 - 250 \cdot \epsilon_u) \quad (2.3)$$

E_b : Betonun elastisite modülü

$$\sigma_b^* = \frac{0,85}{1,50} \cdot \sigma_b \quad (2.4)$$

$$B_b = \frac{1}{6} \cdot b \cdot \eta_u \cdot (2 \cdot \sigma_u + E_b \cdot \epsilon_u) \quad (2.5)$$

$$Y_b = \frac{1}{2} \cdot \eta_u \cdot \frac{3 \cdot \sigma_u + E_b \cdot \epsilon_u}{2 \cdot \sigma_u + E_b \cdot \epsilon_u} \quad (2.6)$$

Kesite etkiyen toplam basınc ve çekme kuvvetleri, F_e ve F'_e çekme ve basınc donatılarının enkesit alanlarını göstermek üzere,

$$B = B_b + F'_e \cdot \sigma_{eu} \quad (2.7)$$

$$\zeta = F_e \cdot \sigma_{ea} \quad (2.8)$$

formülleriyle hesaplanılır.

L_2 : Eğilme momenti ve normal kuvvetin artarak kesitin taşıma gücü adı verilen $M_{L2} = M_p$ plastik moment değerine eşit olunca basınç bölgesindeki beton ezilerek kırılır veya çekme donatısı kopar.

Betonun basınç bölgesinde ezilerek kırılması iki şekilde ortaya çıkabilir. Bunlardan birincisinde çekme donatısı akma durumuna gelmeden betonda ezilme olur. İkincisinde ise, önce çekme donatısı akar sonra beton basınç bölgesi hızla küçülecek ezilir. Birincisinde gevrek kırılma söz konusu olduğundan, boyutlandırma yapıılırken birinci tür kırılmanın meydana gelmemesine dikkat edilmelidir.

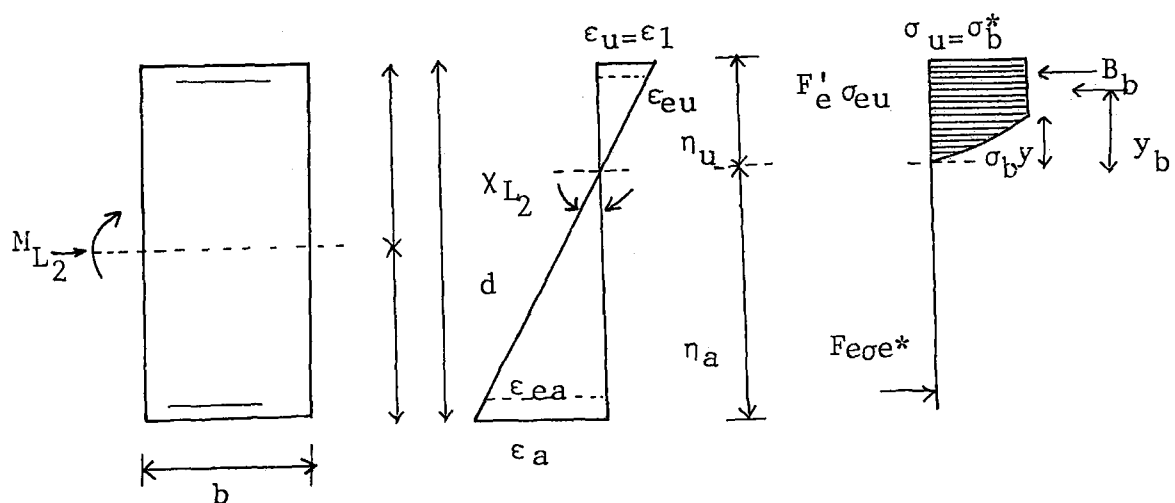
Betonarme kesitlerin boyutlandırıldığında, büyük şekildeğistirmeler nedeniyle sistemin kullanılmaz hale gelmesini önlemek için, genellikle çekme donatısının kopması yerine çelikteki birim boy değişmesinin bir ϵ_{maks} değerinden büyük olmamasına dikkat edilmelidir.

M_{L2} taşıma gücünün tayininde, betondaki ezilmenin $\epsilon_f = 0,0035$ değerinde meydana geldiği kabul edilir. Çekme donatısında ise, birim uzama $\epsilon_{maks} = 0,01$ değeri ile sınırlanır. M_{L2} momentinin hesabında ayrıca, betonun çekmeye çalışmadığı ve kesitin düzlem kaldığı da kabul edilir.

Çubuk elemanına etkiyen M eğilme momenti ve N normal kuvveti artarak,

$$K_1(M, N) = 0 \quad (2.9)$$

kırılma şartının belirlendiği sınır değerlere eşit olunca kesitin taşıma gücü sona erer. Bu durumun dış beton basınç lifindeki birim kısalmanın ϵ_1 sınır değerine erişip betonun ezilmesi ile veya çekme donatısındaki birim uzamanın $\epsilon_{maks} = 0,01$ değerine ulaşması ile meydana geldiği kabul edilmektedir.



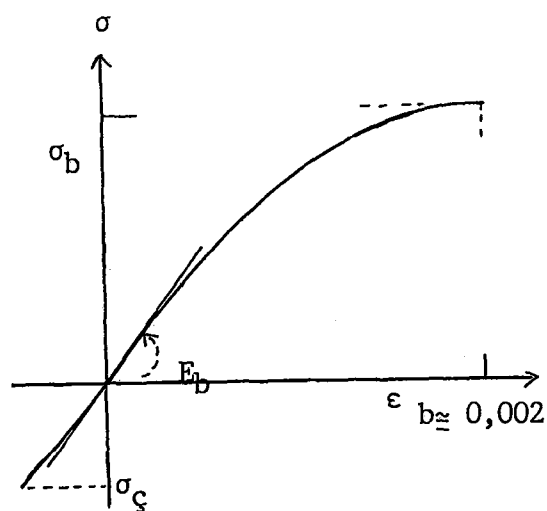
Sekil 2.4. Gerilme Yayılışı

$$Y = \frac{2 \cdot \epsilon_0}{\epsilon_u} \cdot \eta_u \quad (2.10)$$

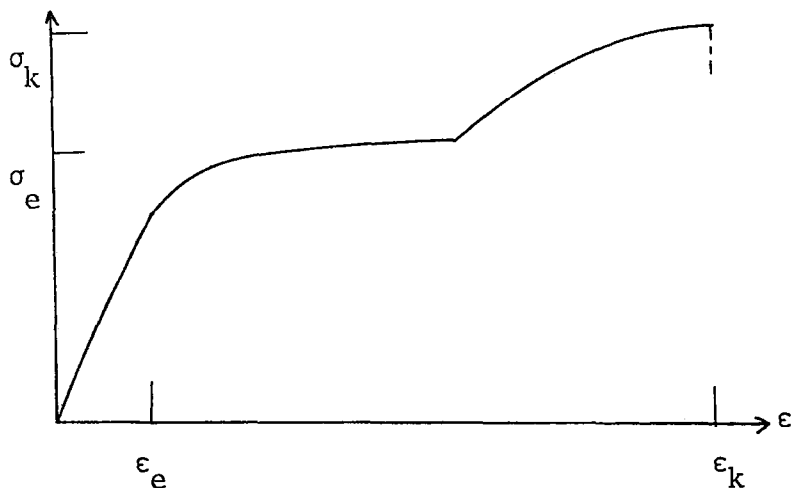
$$B_B = h \cdot \sigma_B^* \cdot (n_u - \frac{1}{3} \cdot y) \quad (2.11)$$

$$Y_D = \frac{1}{2} \cdot \frac{\eta_u^2 - \frac{1}{6} \cdot y^2}{\eta_u - \frac{1}{3} \cdot y} \quad (2.12)$$

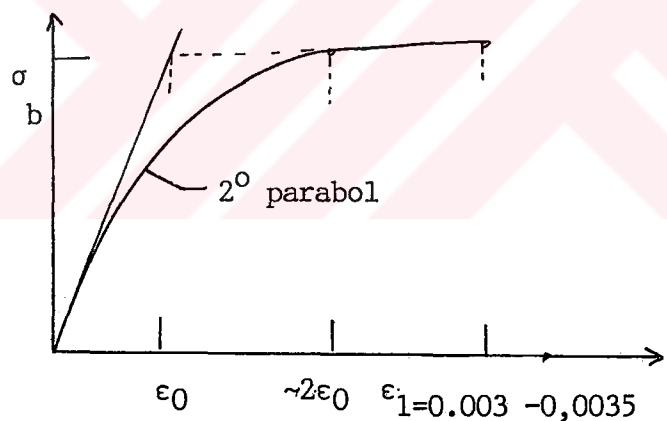
Kesite etkiyen toplam basınç ve çekme kuvvetleri (2.7) ve (2.8) formülleriyle hesaplanabilir.



Sekil 2.5. Beton İçin Gerilme-Sekildeğistirme Bağıntısı



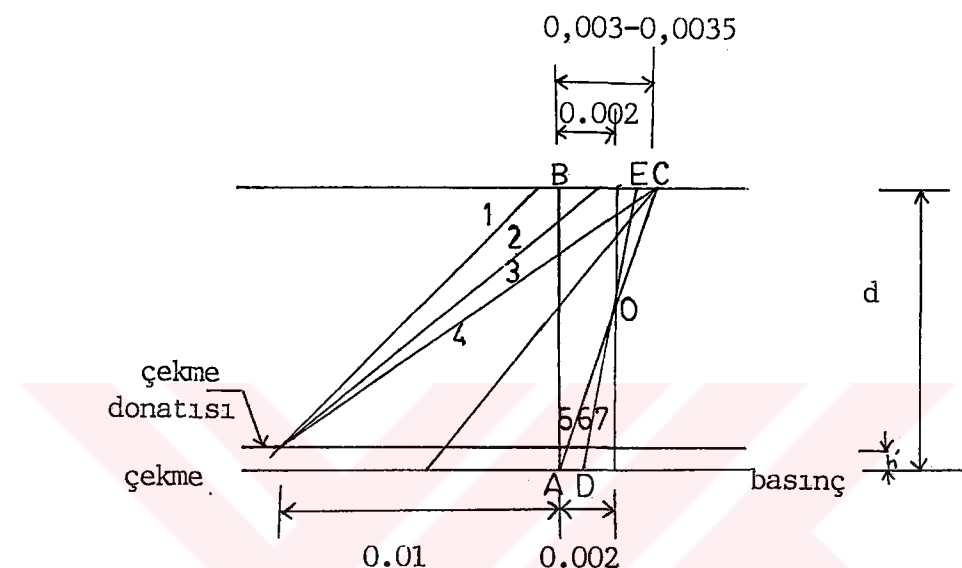
Sekil 2.6. Çelik İçin Gerilme-Sekildeğistirme BAğıntısı



Sekil 2.7. Betonarme Kırış Elemanın Basınç Lifindeki Gerilme-Sekildeğistirme Bağıntısı

Sekil 2.8.'de, dış beton basınç lifindeki birim kısalmanın, normal kuvvetin eğilme momentine oranına bağlı olarak hangi değerleri aldığı açıklanmıştır.

Taşıma gücünün, çekme donatısındaki birim uzamanın sınır değere ($0,01$) ulaşması ile sona ermesi halinde, diğer tarafın dış basınç lifindeki beton birim kısalmaları, $1,2,3$ şekildeğistirme doğrularında olduğu gibi, $0,003 \sim 0,0035$ 'e kadar değerler alabilir.



Sekil 2.8. Şekil Değiştirme Doğruları

Taşıma gücünün dış basınç lifindeki kırılma ile sona ermesi halinde ise, diğer taraftaki dış beton lifindeki birim uzama sıfır değerini alıncaya dek $3,4,5$, doğrularında olduğu gibi $\epsilon_1 = 0,003 \sim 0,0035$ olarak sabit kalır. Ancak diğer taraftaki dış lifte ϵ de kısalma bulunması halinde, $\epsilon_1, 0,002$ ile $0,0035$ arasında değişen değerler alır. Örneğin, dış lifte AD birim kısalması olduğu zaman, DO doğrusu yardımıyla bulunan BE birim kısalması ϵ_1 değeri olarak alınır. Burada O noktası AC ile $0,002$ birim kısalmasına ait 7 doğrusunun kesim noktasıdır. Böylece, basit basınç halinde 7 doğrusu ile $\epsilon_1 = 0,002$ elde edilmektedir.

2.3. Kesit Tesiri-Sekildeğistirme Bağıntılarının Çıkarılmasında İzlenen Yol

M eğilme momenti ve N normal kuvveti etkisindeki betonarme çubuk elemanlarında, X ve $\frac{du}{ds}$ sekildeğistirmeleri doğrudan doğruya tayin edilememektedir. Lineer olmayan sistemler (Çakiroğlu A., Özer E) adlı yayında bu sekildeğistirmelerin tavini için aşağıdaki ardışık yaklaşım yolu verilmiştir.

Ardışık yaklaşımın her adımında çubuk elemanın X ve $\frac{du}{ds}$ sekildeğistirmeleri tahmin edilir. Bu büyüklükler ö şekilde tahmin edilmelidir ki bunların belirledikleri birim boy değişmesi diyagramına bağlı olarak bulunan beton ve çelik gerilmelerine ait eğilme momenti ve normal kuvvet verilen kesit tesirlerine eşit olsun.

Tahmin edilen X ve $\frac{du}{ds}$ için hesaplanan M ve N kesit tesirlerinin verilen M_o , N_o değerlerine eşit olması halinde, tahmin edilen sekildeğistirmeler çubuk elemanın gerçek sekildeğistirme durumunu belirlemektedir.

Bu şartın sağlanmaması halinde ise, yeni X ve $\frac{du}{ds}$ değerleri için ardışık yaklaşımı devam edilir. Bu metodun uygulanmasında aşağıda anlatılan yol izlenir.

X ve $\frac{du}{ds}$ 'in ilk değerleri olarak aşağıdaki formüllerde bulunan değerler alınır.

$$\left(\frac{du}{ds}\right)_1 = \frac{N_o}{EF} \quad (\text{EF: Beton kesitin uzama riyitliği}) \quad (2.13)$$

E = Betonun elastisite modülü,

F = Elemanın kesit alanı.

$$(X)_1 = \frac{M_o}{EI} \quad (\text{EI: Beton kesitin eğilme riyitliği}) \quad (2.14)$$

I = Kesitin atalet momenti

Elemanın, daha önce anlatılan üç sınır değerinden hangisinin sınırları içinde bulunduğu x_1 ve $(\frac{du}{ds})_1$ başlangıç değerleri yardımıyla tespit edilir. Bunlara bağlı olarak gerilme yayılışı ve şekildeğştirme durumu belirlenir. Bunlardan bulunan normal kuvvet değeri (N_1), başlangıçta verilen normal kuvvet değerine (N_0)'a eşit değilse, o zaman $\frac{du}{ds}$ şekildeğistirmesi için;

$$(\frac{du}{ds})_2 = \frac{N_0}{N_1} \cdot (\frac{du}{ds})_1 \quad (2.15)$$

değeri alınarak hesaplanan N_2 değerinin, N_0 değerine eşit olup olmadığına bakılır. Eğer gene eşit değilse, bundan sonraki bütün adımlar için $\frac{du}{ds}$ değerleri,

$i > 2$ için;

$$(\frac{du}{ds})_i = (\frac{du}{ds})_{i-1} + \frac{N_0 - N_{i-1}}{N_{i-1} - N_{i-2}} \cdot [(\frac{du}{ds})_{i-1} - (\frac{du}{ds})_{i-2}] \quad (2.16)$$

formülüyle bulunur. Bu arada x_1 daima sabittir.

Eğer N_i değeri N_0 değerine eşit olduğu zaman, x_1 ve $(\frac{du}{ds})_i$ şekildeğistirmelerinin oluşturduğu gerilme yayılışından bulunan M_1 momenti M_0 'a eşit oluyorsa, x_1 ve $(\frac{du}{ds})_i$ gerçek şekildeğistirmelerdir. M_1 momenti M_0 'a esit değilse, x şekildeğistirmesi için

$$x_2 = \frac{M_0}{M_1} x_1 \quad (2.17)$$

değeri alınır. Bu değer için yukarıda anlatılan method tekrar edilir, [3].

Yani N_i , N_o 'a eşitlendikten sonra $(\frac{du}{ds})_i$ ve χ_2 'ye karşı gelen M_2 momenti M_o 'a eşitse gerçek şekildeğisterme

$(\frac{du}{ds})_i$ ve χ_2 'dir. Değilse, bundan sonraki adımlar için χ değerleri,

$j > 2$ için;

$$\chi_j = \chi_{j-1} + \frac{M_o - M_{j-1}}{M_{j-1} - M_{j-2}} \cdot (\chi_{j-1} - \chi_{j-2}) \quad (2.18)$$

Yukarıda anlatılan adımlar tekrarlanır. Sonunda önce N_i değeri N_o eşitlenir, ($i \geq 1$ için) ve $(\frac{du}{ds})_i$ ile χ_j ($j > 2$ için) şekildeğistirmelerine karşı gelen M_j momenti M_o değerine eşitse gerçek şekildeğistirmeler $(\frac{du}{ds})_i$ ile χ_j olarak bulunmuş olur. Biz bu işlemi yapan programı OKAN5 olarak adlandırdık.

Yukarıdaki formüllerde;

n : Adım sayısı

N_o : Hesap normal kuvveti

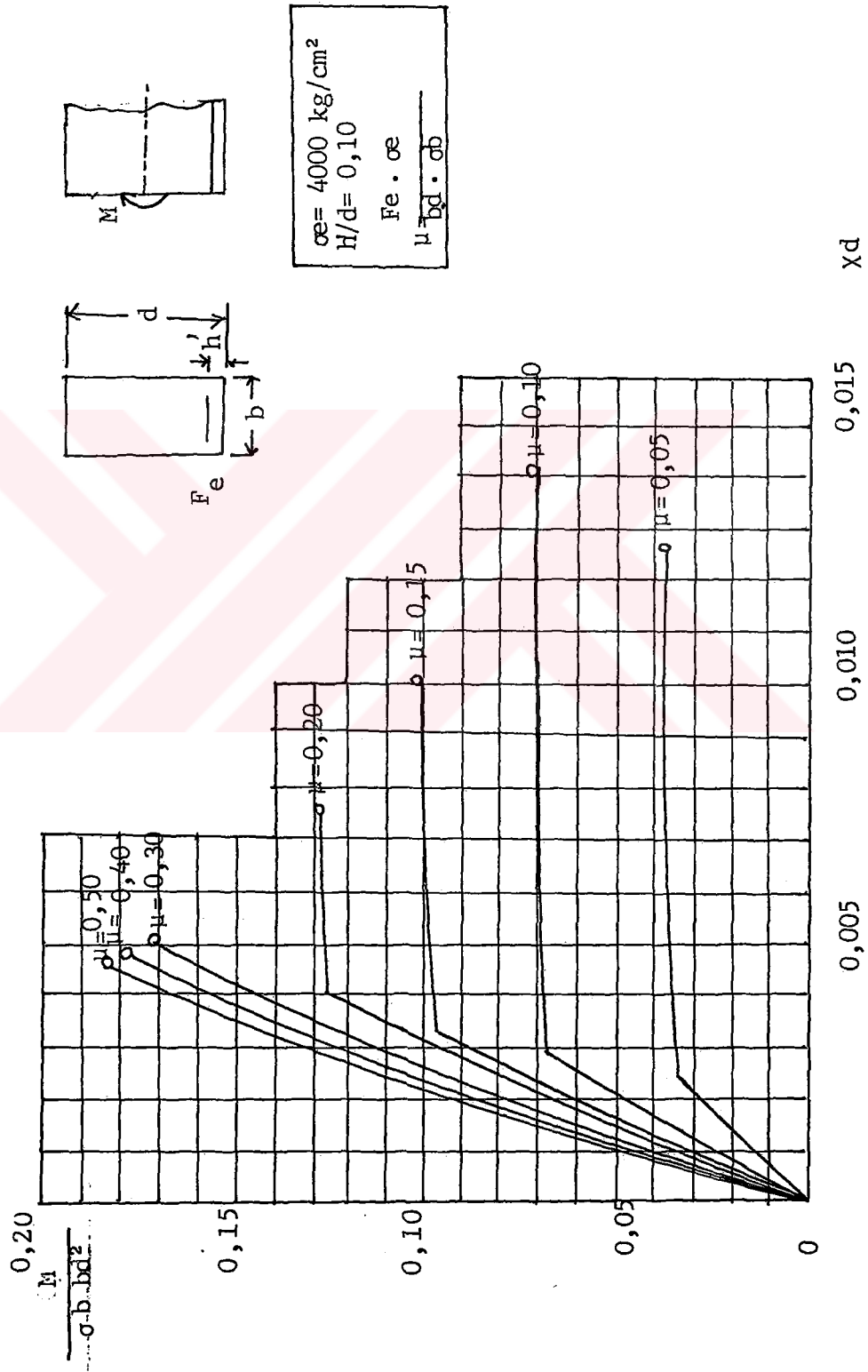
N_{n-1} : ($n-1$) adımdaki normal kuvvet değeri

M_o : Hesap eğilme momenti

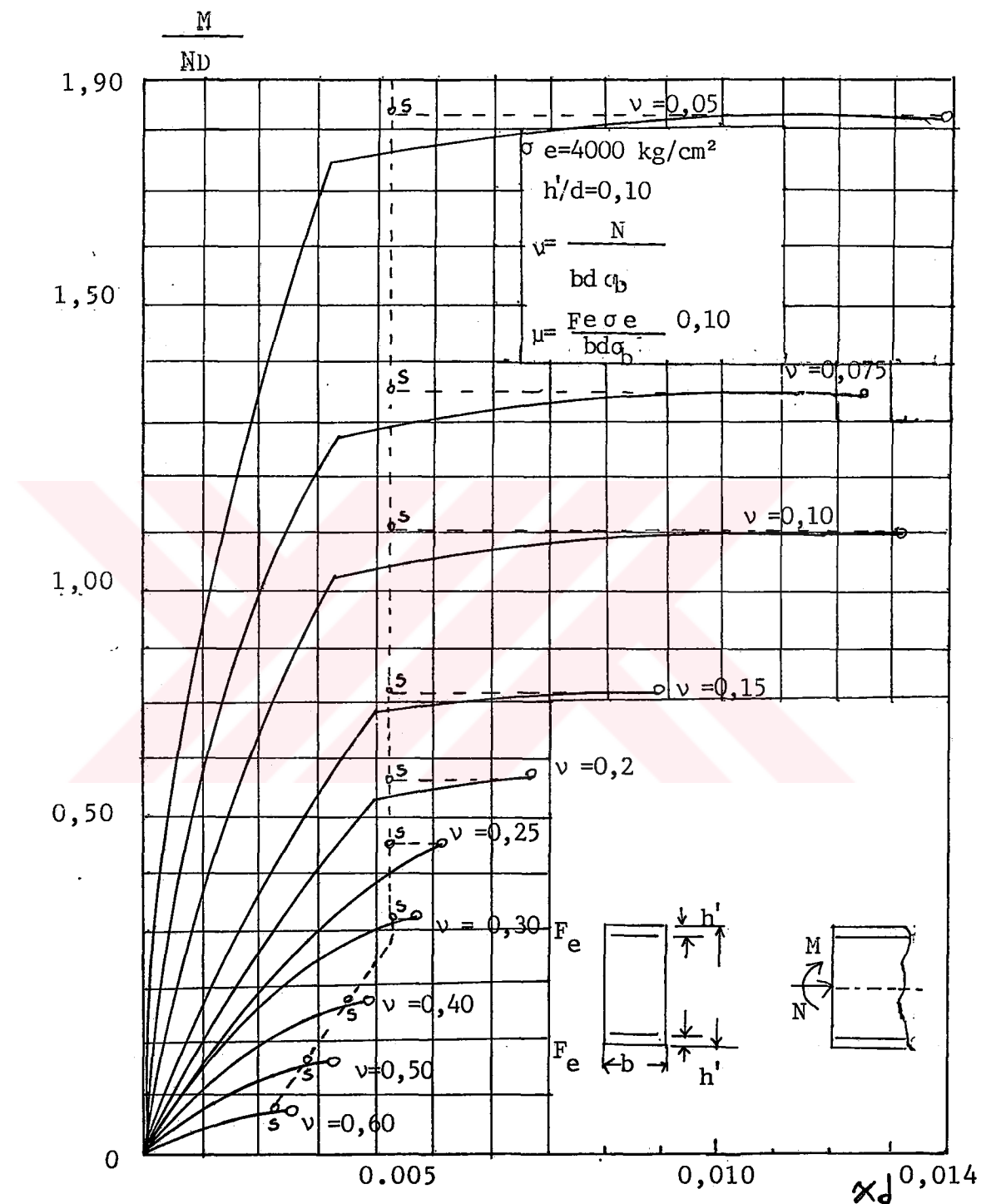
M_{n-1} : ($n-1$) adımdaki eğilme momenti değeridir.

Yukarıda açıklanan ardışık yaklaşım yöntemi ile hesaplanan,

- Tek donatılı dikdörtgen kesitlerde $M-\chi$ bağıntısı Şekil 2.9'da.
- Simetrik donatılı dikdörtgen kesitlerde μ mekanik donatı oranının sadece 0,1 değeri için M_1 , $N-\chi$ bağıntısı Şekil 2.10'da diyagramlar ile verilmişlerdir.



SEKİL 2.9.



ŞEKİL 2.10.

2.4. Bilgisayar Programlarının Yapısı ve Çalışma Düzeni

Yukarıda anlatılan ardışık yaklaşım metodıyla, bir kesite etkiyen normal kuvvet (N_o) ve Moment (M_o) sebebiyle o kesitte oluşan χ (birim dönmeye) ve $\frac{du}{ds}$ (birim uzama ya da kısalma) bulunabiliyordu. Bu ardışık yaklaşım metodu kullanılan OKAN5 programıyla ayrıca, çekme donatısındaki birim uzama, kesitin birim dönmesi, basınç bölgesindeki betonun dış lifindeki birim kısalma, kesitin orta noktasındaki birim uzama, kesitin eğilme rijitliği ve uzama rijitliği bulunur.

Kesitin eğilme ve uzama rijitlikleri aşağıdaki formüller yardımıyla programda hesaplanır. Program ilk olarak χ ve $\frac{du}{ds}$ 'i ardışık yaklaşım metodunu kullanarak hesaplanmıştır. N ve M değerleri, data olarak programa verilmiştir.

$$\frac{du}{ds} = \frac{N}{EI}, \quad EI = \frac{N}{\frac{du}{ds}} \quad (2.19)$$

$$\chi = \frac{M}{EI}, \quad EI = \frac{M}{\chi} \quad (2.20)$$

OKAN5 programına data olarak girilmesi gereken veriler şunlardır:

- 1- Kesitte kullanılan donatı alanları (basınç ve çekme donatıları).
- 2- Beton prizma mukavemeti.
- 3- Çelik akma gerilmesi.
- 4- Kesitin genişliği.
- 5- Kesitin yüksekliği.
- 6- Pas payı.
- 7- Kesite etkiyen normal kuvvet miktarı.
- 8- Kesite etkiyen eğilme momenti miktarı.

- 9- Çeliğin elastisite modülü.
- 10- Normal kuvvet için kabul edilen hata oranı.
- 11- Eğilme momenti için kabul edilen hata oranı.
- 12- S100 değeri.
- 13- Kesitin eğilme rıjitleği değeri.
- 14- Kesitin uzama rıjitleği değeri.

Biz daha önceden, dikdörtgen kesitli betonarme çubuğun eğilme ve uzama rıjiliklerini biliyorsak, o zaman S100 datasına 1. değerini verip ondan sonraki iki datayı, bu bilinen rıjilikler olarak sırasıyla girebiliriz. Program, o zaman bu son iki datayı sırasıyla eğilme rıjitleği ve uzama rıjitleği değerleri olarak ardışık yaklaşım metodunu uygular. Eğer biz önceden bu iki değeri bilmiyorsak, S100 datasına 1:den farklı herhangi bir değer gireriz. Böylece OKAN5 programı, dikdörtgen kesitli betonarme çubuğun eğilme ve uzama rıjiliklerini yaklaşık olarak kendi hesaplar ve bu hesapladığı değerleri ardışık yaklaşım metodunda kullanır. Bu iki değer aşağıdaki formüllerle hesaplanır.

$$EI = E_b \cdot \frac{b \cdot d^3}{12} \quad (2.21)$$

$$EA = E_b \cdot b \cdot d \quad (2.22)$$

Burada;

E_b = Betonun elastisite modülü.

b = Kesitin genişliği.

d = Kesitin yüksekliğidir.

Biz örnek yapı olarak Şekil 3.1.'deki gösterilmiş yapıyı inceledik. Bu yapı taşıyıcı eleman olarak perde, kolon ve kirişlerden oluşmuştur. Biz bu yapının, yatay ve düşey yükler altındaki davranışını daha iyi ve daha rahat inceleyebilmek için, bu yapıyı bir çerçeveye indirgedik.

Bulunan, yapıya eşdeğer çerçevenin, belli yatay ve düşey yükler altında, gerçek yapıyla aynı şekilde davranışları yani çerçevenin belli noktalardaki kesitlerinin, gerçek yapıdaki karşıtlarıyla orantılı ve benzer şekilde zorlanması ve deplasman yapması gerekmektedir. Yoksa bulunan çerçeve gerçek yapıya eşdeğer olamazdı.

Biz bu çerçeveyi, artan yatay ve düşey yükler altındaki davranışını daha iyi inceleyebilmek için, düşey ve yatay doğrultuda, yeterli sayıda elemanlara ayırdık.

Bu çerçeveyi belli yatay ve düşey yükler altında çözen programa OKAN23 adı verilmiştir. Bu program, her kata etkiyen deprem kuvvetlerinin, çerçevenin her elemanında oluşturduğu normal kuvvetleri ve eğilme momentlerini hesaplamaktadır. Ayrıca OKAN23 programıyla, belli deprem yüklerinin her düğüm noktasında oluşturduğu deplasmanlarda hesaplanmaktadır.

OKAN23 programına data olarak girilmesi gereken veriler şunlardır:

- 1- Çerçevenin düğüm noktalarının koordinatları.
- 2- Elemanların sağ ve sol düğüm noktaları.
- 3- Çerçeveye etkiyen yatay ve düşey yükler.
- 4- Düşey yayılı yüklerin sınırları. Tekil yüklerin bulunduğu noktalar.
- 5- Betonarme çubuk elemanların eğilme rijitlikleri.
- 6- Betonarme çubuk elemanların uzama rijitlikleri.

Yatay yükler (deprem yükleri) ve bu yüklerin katları, çerçeveye uygulanarak bu çerçeve pek çok kere çözüldü.

İlk yüklemede, çerçeve OKAN23 programıyla çözülmür. Data olarak, zayıflamamış kesitler yani çatlamamış kesitler ya da azalmamış uzama ve eğilme rijitlikleri çerçevenin her elemanı için girilir. OKAN23 programıyla her elemana gelen normal kuvvet ve momentler bulunur.

OKAN5 programında, her çubuk için, bulunan normal kuvvet ve eğilme momentinden meydana gelen şekildeğistirmeler bulunur. Ayrıca her çubuk için yeni eğilme ve uzama rijitlikleri bulunur. Bu rijitlikler bir önceki değerinden daha küçüktür. Çünkü, moment ve normal kuvvetten dolayı kesit çatlamış yani zayıflamıştır. İkinci yüklemede yatay yükler aralarındaki oranlar sabit kalacak şekilde belli bir kat arttırılır. Çerçeve gene OKAN23 programıyla çözüülür. Yalnız bu sefer, OKAN23 programında data olarak, zayıflamış kesitler yani yeni bulunan, azalmış uzama ve eğilme rijitlikleri data olarak girilir. OKAN23 programıyla gene her elemana etkiyen normal kuvvetler ve eğilme momentleri bulunur.

Gene OKAN5 programıyla her çubuk için kendisine ait eğilme momenti ve normal kuvvetin meydana getirdiği şekildeğistirmeler ve yeni eğilme ve uzama rijitlikleri bulunur. Bu yeni azalmış rijitlikler bir dahaki yüklemede data olarak girilirler. Bu işlemler yapının yani esdeğer çerçevenin göçmesine sebep olan yüklemeye kadar her yükleme için tekrar edilir.

BÖLÜM 3

BETONARME ÇERÇEVELERİN TASTMA GÜCÜ

3.1. Çerçeve İle İlgili Açıklamalar Ve Bilgisayar Programının Kullanılması

Sekil 3.1.'de gösterilmiş olan gerçek sistem kolon, perde ve kiriş elemanlarından oluşan 15 katlı bir yapıdır. Yapının, yaklaşık düşey ve yatay yüklerinin bulunması aşağıda gösterilmistir. Yatay yüklerin bulunmasında, statik hesap yöntemi uygulanmıştır.

Çatı katı için :

Plak kendi ağırlığı	$0,10 \times 2,5 = 0,250 \text{ t/m}^2$
Kaplama + sıva	$0,150 \text{ t/m}^2$
SABİT YÜK	$q = 0,400 \text{ t/m}^2$

Normal katlar için :

Plak kendi ağırlığı	$0,12 \times 2,5 = 0,300 \text{ t/m}^2$
Kaplama + sıva	$0,150 \text{ t/m}^2$
SABİT YÜK	$q = 0,450 \text{ t/m}^2$

HAREKETLİ YÜK,

Normal katlar için	$q = 0,200 \text{ t/m}^2$
Çatı katı için	$q = 0,150 \text{ t/m}^2$

Yalnız biz duvar, kolon, perde ve kiriş ağırlıklarını hesaba katmadığımız için hareketli yükleri daha fazla aldık.

$$q_{\text{normal}} = 0,300 \text{ t/m}^2$$

$$q_{\text{çatı}} = 0,25 \text{ t/m}^2$$

Deprem kuvvetlerinin hesabında aşağıda açıklanmıştır.

W_i kat ağırlığı,

$$W_i = G_i + n \cdot Q_i$$

olarak hesaplanacaktır. Burada, G_i ve Q_i söz konusu kattaki sabit ve hareketli yüklerin toplamıdır. Hesaba esas olan depremin meydana gelmesi ile bütün katlarda tam hareketli yükün bulunmasının beraberce ortaya çıkması ihtimalinin çok düşük olacağı düşünülderek, n gibi bir hareketli yük azaltma katsayısı öngörülmüştür. Konut için $n = 0,30$ alınmalıdır.

Yapıların depreme dayanıklı olarak boyutlandırılmasında kullanılacak eşdeğer statik yatay yüklerin toplamı, W toplam yapı ağırlığı olmak üzere,

$$F = C \cdot W$$

şeklinde belirlenir. Buradaki C deprem katsayısidır.

$$C = C_o \cdot K \cdot S \cdot I \geq C_o / 2$$

olarak hesaplanır. Burada;

C_o : Deprem bölgesi katsayısı.

K : Yapı tipi katsayısı.

S : Yapı dinamik (Spektrum) katsayısı.

I : Yapı önem katsayısı.

Ayrıca yapı dinamik (spektrum) katsayısı,

$$S = 1 / |0,8 + T - T_o| \leq 1,0$$

denklemi ile hesaplanır. Burada;

T : Saniye olarak yapının birinci doğal periyodu.

T_o : Zeminin hakim peryodudur.

Bina tiplinden yapılar için doğal peryod,

$$T = 0,09H/\sqrt{D}$$

olarak hesaplanabilir. Burada;

H : Binanın temel üst kotundan ölçülen yüksekliği
(metre olarak)

D : Yatay yükler doğrultusuna paralel doğrultudaki bina
genişliği (metre olarak)

Biz $C_0 = 0,10$ aldık yani deprem bölgesi 1.deprem bölgesidir. $K = 0,3$ aldık yani yapımız betonarme, düktil çerçeveler ile yatay yüklerin en az % 25'ini taşıyabilen perde duvarlarından oluşmuştur. $T_0 = 0,35$ aldık yani zemin gevşek magmatik kayalar, ayrılmış tortul kayalardan oluşmuştur. $I = 1,0$ alınmıştır yani yapımız halkın az yığıldığı yapılar (özel konutlar, oteller, iş yerleri) gibi bölgimelerden oluşmaktadır.

Yukarıdaki veriler alınarak ve statik metod uygulanarak bulunan, eşdeğer statik yükler yani deprem yükleri aşağıda verilmiştir.

$$F_1 = 2,02 \text{ ton}, F_2 = 4,05 \text{ ton}, F_3 = 6,07 \text{ ton}, F_4 = 8,09 \text{ ton},$$

$$F_5 = 10,12 \text{ ton}, F_6 = 12,14 \text{ ton}, F_8 = 16,19 \text{ ton}, F_9 = 18,21 \text{ ton},$$

$$F_{10} = 20,24 \text{ ton}, F_{11} = 22,26 \text{ ton}, F_{13} = 26,31 \text{ ton}, F_{14} = 28,33 \text{ ton}$$

$$F_{15} = 26,7 \text{ ton}, F_7 = 14,17 \text{ ton}, F_{12} = 24,28 \text{ ton}.$$

Donatı oranlarının seçiminde de şu hususlar gözönünde bulundurulmuştur. Bayındırılık ve İşkan Bakanlığının yayını olan "Afet Bölgelerinde Yapılacak Yapılar Hakkında Yönetmelik" adlı, taslağında, perde ve kolon için minimum boyuna donatı oranının $\rho_{min} = 0,01$ olduğu belirtilmiştir.

Ayrıca betonarme perde duvarların en kesitlerinin her iki ucunda, perdenin plandağı büyük boyutunun % 10'u boyutundaki bölgelerde düşey donatı aralığı yarıya indirilir. Bir başka deyişle bu bölgede minimum düşey donatı oranı 0,005 olacaktır. Perdede iki üç olduğuna göre bu oran, tüm perde alanı için $2 \times 0,005$ alınacaktır. Kırıslarda de minimum boyuna çekme donatısı, beton çeliği I için (BCI), 0,006'dır. BC III için, 0,003'dür. Biz perde ve kolonda minimum yani 0,01 aldık. Kırışta, kolon ve perdeden önce plastik mafsal olusmasını istemediğimiz için büyük bir oran 0,009 değeri seçildi, [4].

Yapıda kullanılan beton ve çeliğin malzeme özelliklikleri de şunlardır:

- 1- Beton prizma mukavemeti, $q_b = 250 \text{ kg/cm}^2$
- 2- Beton çeliğin akma gerilmesi, $\sigma_e = 4200 \text{ kg/cm}^2$
- 3- Beton çeliğin elastisite modülü ise $E = 2.100.000 \text{ kg/cm}^2$
- 4- Betonun elastisite modülü ise $E_b = 142.000 \text{ kg/cm}^2$

alınmıştır.

Sekil 3.1.'de görülen gerçek sistem, Sekil 3.2.'de görülen eşdeğer çerçeveye indirgenebilir. Bu işlem aşağıda açıklanmıştır.

Daha önceki adımda yatay kuvvetler bulunmuştur. Eşdeğer çerçevede çatı katındaki düzgün yayılı yükün hesabı :

$$P_{\text{Toplam}} = q + q = 0,4 + 0,25 = 0,65 \text{ t/m}^2$$

$$\text{Katın alanı} = 15,50 \times 35,50 = 550,25 \text{ m}^2$$

$$\text{Toplam kat ağırlığı} = 0,65 \times 550,25 = 357,66 \text{ ton}$$

$$\text{Eşdeğer çerçevedeki iki kirişin toplam uzunluğu} = 10 \text{ m}$$

$$q_{\text{çatı}} = \text{Yayılı yük değeri} = 357,66 / 10 = 35,76 \text{ t/m}$$

Normal katlardaki düzgün yayılı yüklerin hesabı da,

$$P_{\text{Toplam}} = 0,45 + 0,3 = 0,75 \text{ t/m}^2$$

$$W = 0,75 \times 550,25 = 412,69 \text{ ton}$$

$$q = 412,69/10 = 41,27 \text{ t/m}$$

Böylece Şekil 3.2.'de görüldüğü gibi eşdeğer çerçevede kolon, kiriş ve perdelerin en kesit boyutları belirlenmiştir. Eşdeğer, yatay ve düşey yüklerde yaklaşıktır olarak hesaplanmıştır. Yalnız biz, daha küçük rakamlarla çalışmak için perde, kolon, kiriş enkesit boyutlarıyla, eşdeğer yatay ve düşey yükleri ortak bir sayıya böleriz. Bu sayı beştir. Sistemimiz bu indirgemeyle, en son şeklini ve durumunu Şekil 3.3.'de görüldüğü gibi almıştır. Boyutlardaki indirgeme yalnız deprem yüklerine dik doğrultudaki kenarlarda yapılır. Zaten bu indirgemeyi yatay yükler doğrultusundaki kesit kenarında yapsaydık, çerçeve gerçek yapının esdeğeri olamazdı.

Örneğin (7-1) katlar için kolonda indirgeme şöyle yapılır :

$\frac{12 \times 80}{5} / 80$ yani kesit 190/80 boyutlarına gelir. Yani çarpma ve bölme depreme dik doğrultudaki kesitte yapılır. Beş'e bölünerek indirgenen deprem kuvvetleri de,

$$F_1 = 0,40 \text{ ton}, F_2 = 0,81 \text{ ton}, F_3 = 1,21 \text{ ton}, F_4 = 1,62 \text{ ton},$$

$$F_5 = 2,02 \text{ ton}, F_6 = 2,43 \text{ ton}, F_7 = 2,83 \text{ ton}, F_8 = 3,24 \text{ ton},$$

$$F_9 = 3,64 \text{ ton}, F_{10} = 4,05 \text{ ton}, F_{11} = 4,45 \text{ ton}, F_{12} = 4,86 \text{ ton},$$

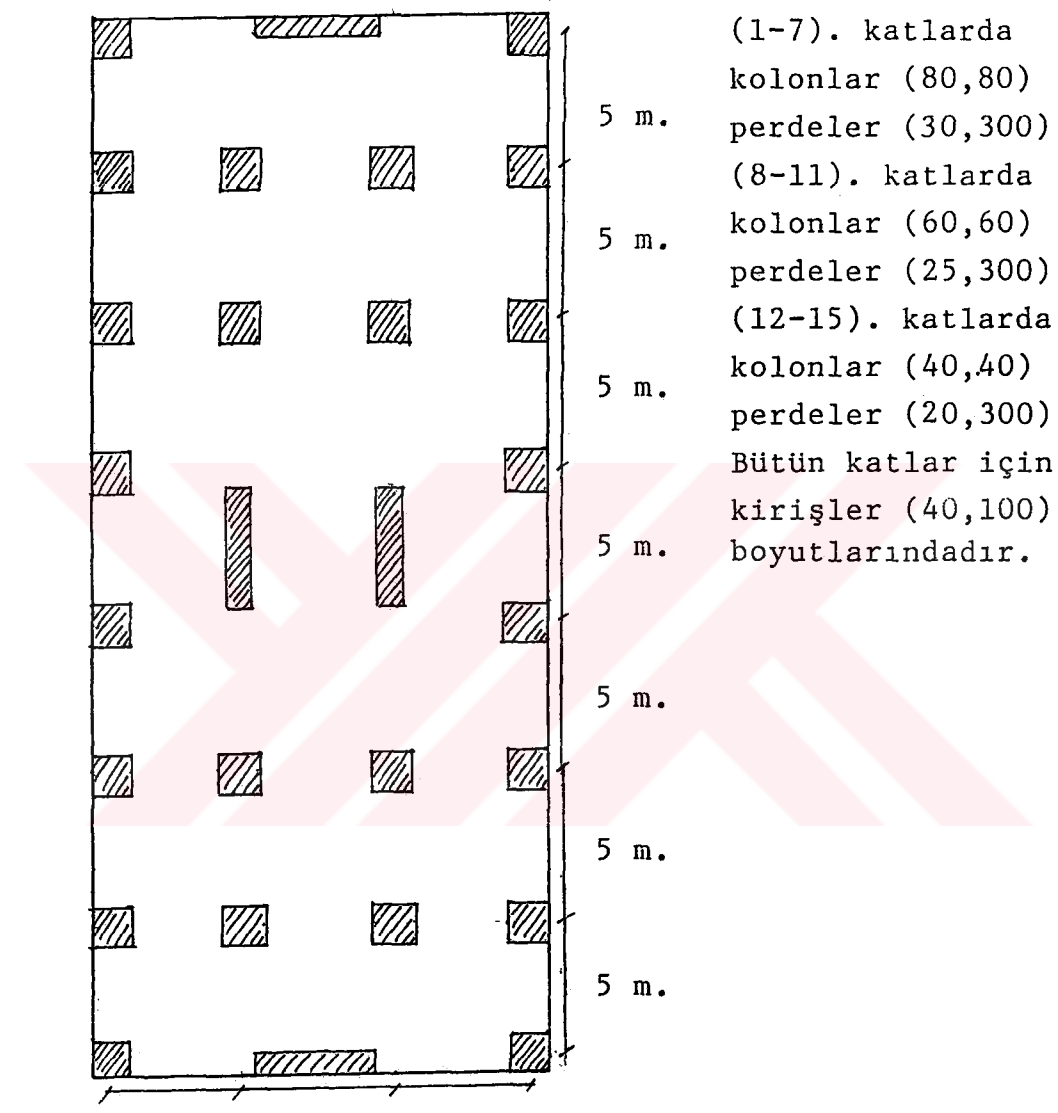
$$F_{13} = 5,26 \text{ ton}, F_{14} = 5,67 \text{ ton}, F_{15} = 5,34 \text{ ton}$$

değerlerini, düşey yayılı yüklerde,

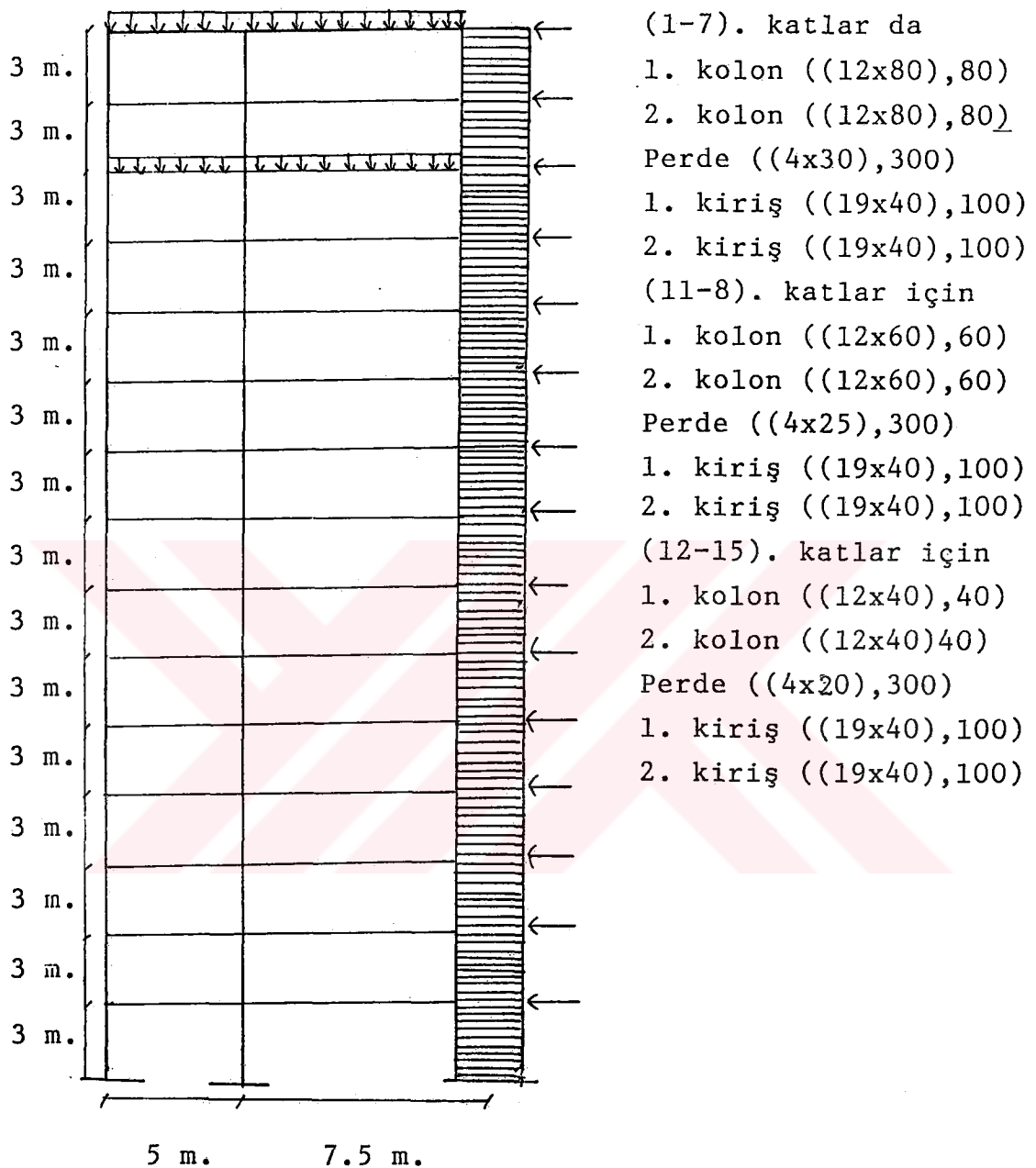
$$q_{\text{çatı}} = 7 \text{ t/m}$$

$$q_{\text{normal}} = 8 \text{ t/m}$$

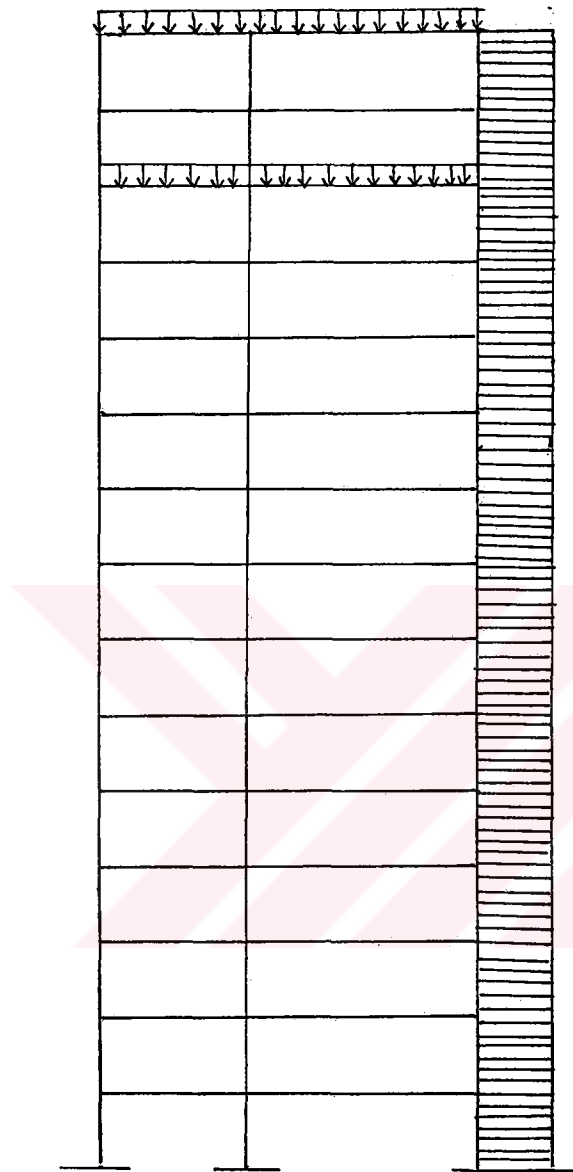
değerlerini alırlar.



Şekil 3.1. : Esas Yapı

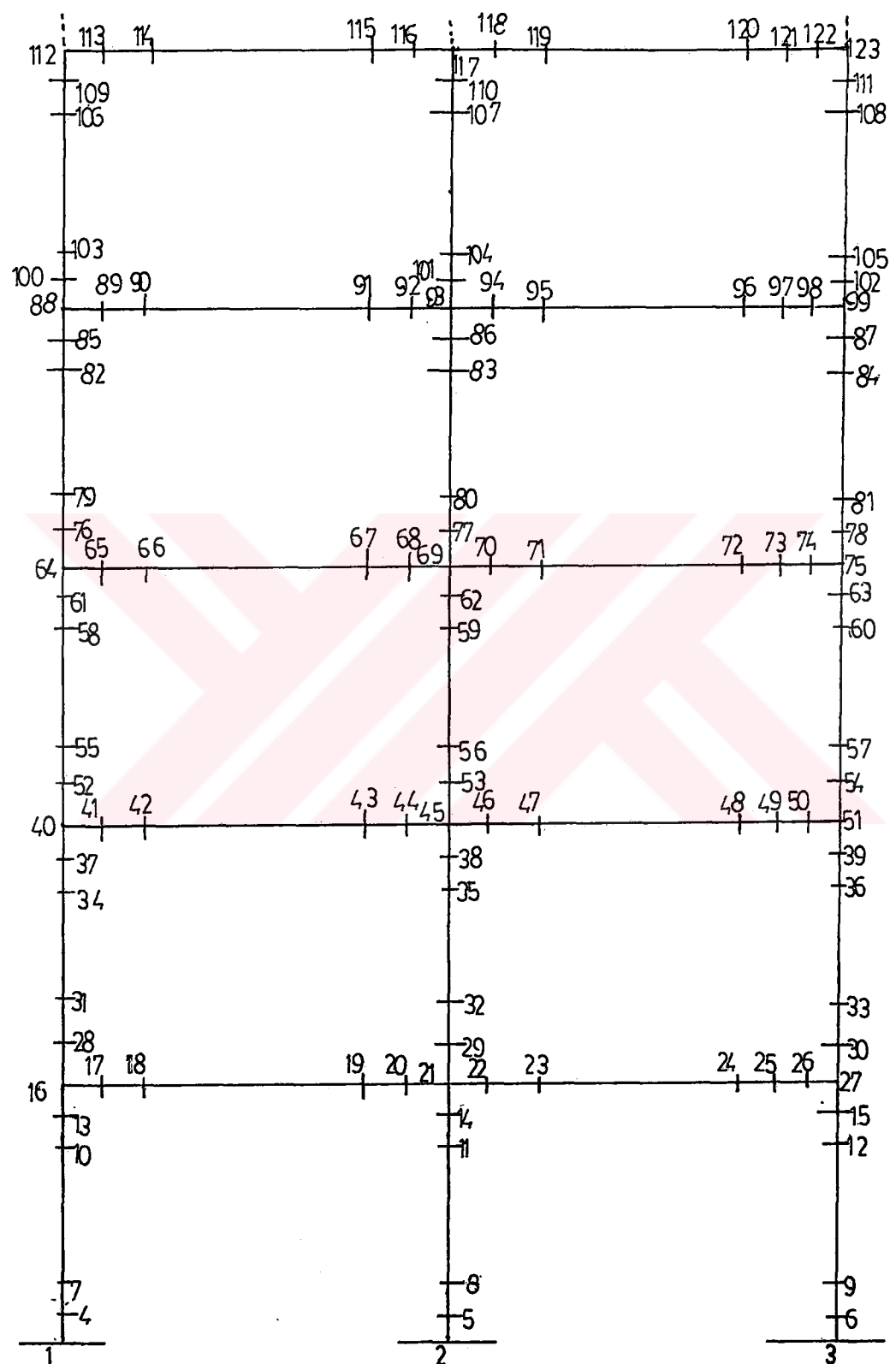


ŞEKİL 3.2. : Eşdeğer Çerçeve

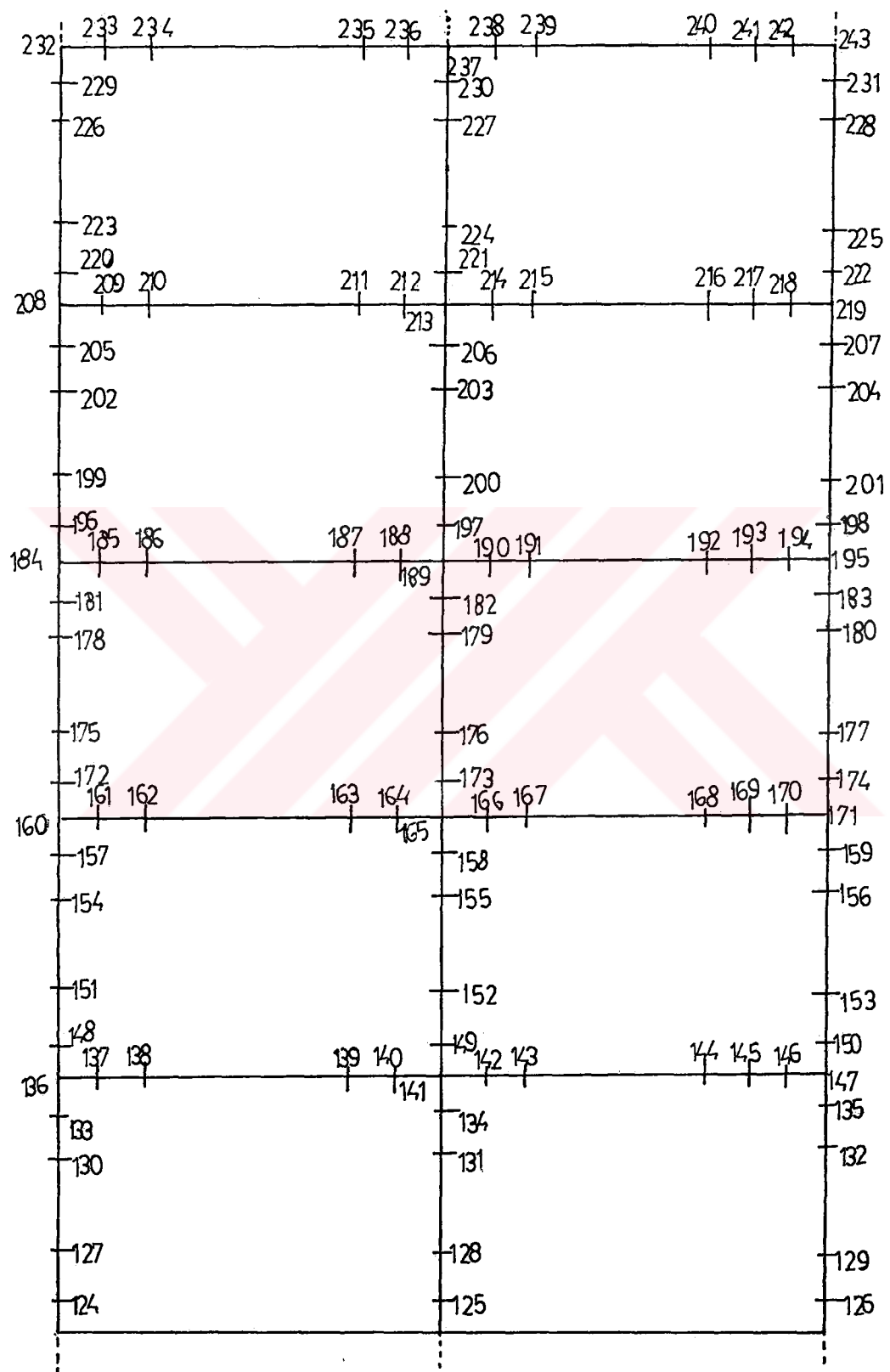


(1-7). katlar da
Kolonlar (190,80)
Perde (25,300)
(8-11). katlarda
Kolonlar (145,60)
Perde (20,300)
(12-15). katlarda
Kolonlar (95, 40)
Perde (15,300)
Bütün katlar için
Kirişler (150,100)
boyutlarındadır.
Perde hariç diğer eleman-
larda pas payı, $h'/d=0,1$ dir.
Perde elemanlarında paspayı
5 cm olarak alınmıştır.

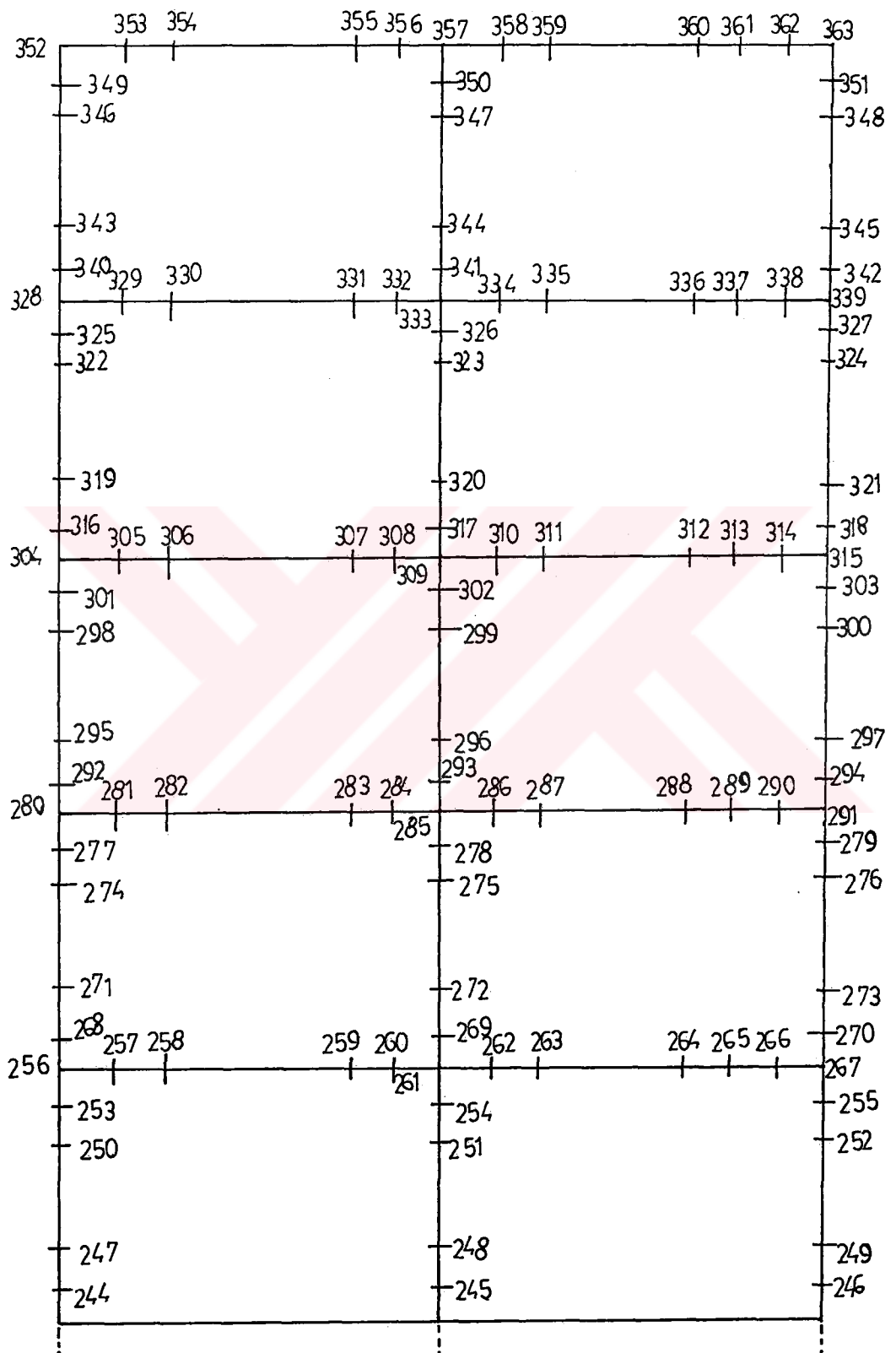
ŞEKİL 3.3. : İndirgenmiş Eşdeğer Çerçeve

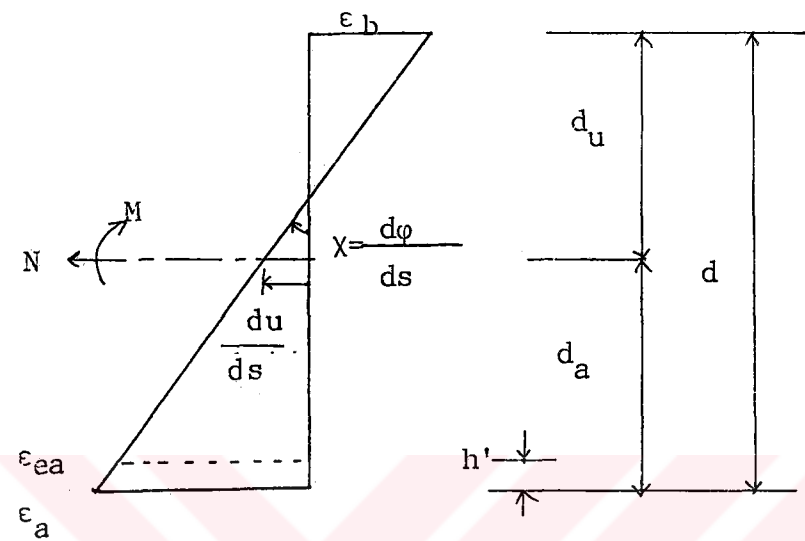


ŞEKİL 3.4. Düğüm Noktaları



Ufak Elemanların hepsi aynı uzunlukta olup, 20 cm'dir.





Sekil 3.5. Sekil değiştirmeler.

3.2. Yüklemeler ve Sonuçları

Yükleme 1 :

Bu yüklemede, bulunan esdeğер statik deprem yüklerinin 0,5 ile çarpımları çerçeveye yüklenmiştir. Perdenin en alt elemanına 30,75 tm moment ve 398,46 ton basınç kuvveti etkimiştir. Orta kolonun en alt elemanına, Tablo 3.1.'de görüldüğü gibi 15,20 tm moment ve 666,02 ton basınç kuvveti etkimiştir. Kenar kolonun en alt elemanına 13,11 tm moment ve 423,02 ton basınç kuvveti etkimiştir. Görüldüğü gibi perdenin en alttaki elemanı diğer iki kolonun en alttaki elemanlarına göre yaklaşık iki kat moment almıştır ama normal kuvveti diğer ikisinden küçüktür. En büyük normal kuvvet ortadaki kolona aittir. Bu yüklemeye ait diğer sonuçlar Tablo 3.1.'de verilmistir. İlk yükleme olduğu için çerçevenin bütün elemanlarına ait sonuçlar verilmistir. Tablo 3.1.'de ilk kolonda çubuk elemanlarının hangi düğüm noktaları arasında bulunduğu belirtilir. İkinci kolonda çubukların kesitlerine etkiyen normal kuvvet, üçüncü kolonda moment miktarları verilmistir. Dördüncü kolonda çubuk elemanlarının birim dönmelerini (x), beşinci kolonda çubuk elemanlarının kesitlerinin ortasındaki $\frac{du}{ds}$ sekildeğistirme miktarını vermektedir. Altıncı kolon çubuğun eğilme rijitliği, yedinci kolonda uzama rijitliklerini vermektedir.

Normal kuvvetteki eksi (-) işaretini basıncı ifade eder. $(\frac{du}{ds})$ sekildeğistirmesindeki eksi (-) işaretini tarafsız eksenin, kesitin momentinin aksi yönündeki yarısı içinde bulunduğunu gösterir. Çerçeveyi oluşturan elemanlar yani çubuklar Sekil 3.5.'de belirtilmiştir.

TABLO 3.1

Ç.No	N(t)	M(tm)	x(1/m)	$\frac{du}{ds}$		EI(tm ²)	EA(t)
				ds	du		
1-4	-423.02	13.11	0.0000901	-0.000178	145262	2375390	
4-7	-432.02	11.39	0.0000781	-0.000178	145736	2375723	
7-10	-423.02	9.67	0.0000662	-0.000178	146010	2376016	
10-13	-423.02	4.96	0.0000337	-0.000178	146754	2376560	
13-16	-423.02	-6.68	0.0000456	-0.000178	146483	2376406	
16-17	-2.01	-29.83	0.0002585	0.00003	115748	67000	
17-18	-2.01	-16.46	0.0001408	0.0000158	116879	128414	
18-19	-2.01	-12.61	0.0001072	0.0000115	117527	174386	
19-20	-2.01	3.89	0.0000374	0.0000003	103739	5241216	
20-21	-2.01	1.96	0.0000184	-0.0000006	107197	2465495	
2-5	-666.02	15.20	0.0001047	-0.0002874	145127	2316730	
5-8	-666.02	13.04	0.0000696	-0.0002874	145473	2317045	
8-11	-666.02	10.87	0.0000745	-0.0002874	145819	2317306	
11-14	-666.02	-7.51	0.0000513	-0.0002873	146352	2317627	
14-21	-666.02	-9.67	0.0000662	-0.0002873	146010	2317430	
21-22	-5.34	-46.58	0.0004015	0.0000439	115994	121402	
22-23	-5.34	-26.37	0.0002238	0.0000327	117798	234639	
23-24	-5.34	-20.28	0.0001706	0.000163	118870	327545	
24-25	-5.34	15.37	0.0001277	0.000011	120289	481452	
25-26	-5.34	13.46	0.0001111	0.000009	121109	588984	
3-6	-398.46	30.75	0.0000276	-0.000354	1111522	1125560	
6-9	-398.46	29.84	0.0000268	-0.000354	1112013	1125589	
9-12	-398.46	28.93	0.000026	-0.000354	1112506	1125617	
12-15	-398.46	21.23	0.000019	-0.0003539	1116672	1125811	
15-27	-398.46	20.32	0.0000181	-0.0003539	1117161	1125828	
16-28	-398.17	17.23	0.000119	-0.0001672	144800	2380071	
28-31	-398.17	9.93	0.000068	-0.0001671	145969	2381773	
31-34	-398.17	7.85	0.0000536	-0.0001671	146298	2382082	

C.No	N(t)	M(tm)	x(1/m)	$\frac{du}{ds}$	EI(tm ²)	FA(t)
37-40	-398.17	-11.95	0.000082	-0.0001672	145647	2381397
40-41	-1.73	-38.24	0.0003318	0.000039	115233	44284
41-42	-1.73	-22.79	0.0001963	0.0000227	116050	76181
42-43	-1.73	-18.28	0.000157	0.0000178	116433	96690
43-44	-1.73	9.43	0.0000799	0.0000084	117968	205950
121-122	-1.11	13.36	0.0001147	0.0000132	116386	83647
21-29	-614.79	23.68	0.0001647	-0.0002641	143752	2327431
29-32	-614.79	13.78	0.0000948	-0.0002639	145354	2329531
32-35	-614.79	10.95	0.000075	-0.0002638	145806	2329920
35-38	-614.79	-13.09	0.0000899	-0.0002638	145465	2329636
38-45	-614.79	-15.92	0.0001097	-0.0002639	145011	2329182
45-46	-3.00	-48.83	0.0004238	0.0000487	115193	61478
46-47	-3.00	-28.04	0.0002409	0.0000269	116366	111298
47-48	-3.00	-21.75	0.0001859	0.0000202	116975	147995
48-49	-3.00	17.19	0.0001461	0.0000154	117631	194717
49-50	-3.00	15.48	0.0001312	0.0000135	117962	220920
27-30	-374.54	-2.93	0.0000026	-0.0003308	1125819	1132123
30-33	-374.54	-2.36	0.000002	-0.0003308	1126243	1132123
33-36	-374.54	-2.20	0.0000019	-0.0003308	1126385	1132178
36-39	-374.54	-0.82	0.0000007	-0.0003308	1127429	1132151
39-51	-374.54	-0.66	0.0000005	-0.0003308	1127593	1132100
40-52	-370.02	18.99	0.0001314	-0.000155	144516	2385869
52-55	-370.02	10.77	0.0000738	-0.0001549	145835	2388138
55-58	-370.02	8.43	0.0000576	-0.0001549	146206	2388549
58-61	-370.02	-11.53	0.0000791	-0.0001549	145714	2387980
61-64	-370.02	-13.88	0.0000955	-0.0001549	145339	2387430
64-65	-1.17	-41.92	0.0003648	0.0000435	114901	26882
65-66	-1.17	-25.56	0.0002212	0.0000262	115551	44573

Ç.No	N(t)	m(tm)	x(1/m)	$\frac{du}{ds}$	EI(tm ²)	EA(t)
66-67	-1.17	-29.75	0.0001791	0.0000211	115820	55390
67-68	-1.17	12.11	0.0001038	0.0000118	116614	98630
68-69	-1.17	11.16	0.000095	0.0000108	116760	107926
45-53	-565.89	25.52	0.0001779	-0.0002419	143451	2338556
53-56	-565.89	14.73	0.0001014	-0.0002417	145203	2341238
56-59	-565.89	11.65	0.0000799	-0.0002416	145695	2341731
59-62	-565.89	-14.56	0.0001002	-0.0002417	145229	2341271
62-69	-565.89	-17.64	0.0001218	-0.0002417	144734	2340664
69-70	-1.28	-47.66	0.0004153	0.0000494	114745	25907
70-71	-1.28	-27.06	0.0002343	0.0000277	115536	46129
71-72	-1.28	-20.86	0.00018	0.0000211	115883	60594
72-73	-1.28	16.88	0.0001452	0.0000168	116194	75685
73-74	-1.28	15.10	0.0001297	0.0000149	116367	83564
51-54	-351.59	-16.13	0.0000144	-0.000309	1119417	1137815
54-57	-351.59	-13.45	0.000012	-0.000309	1120854	1137859
57-60	-351.59	-12.69	0.0000113	-0.000309	1121263	1137867
60-63	-351.59	-6.20	0.0000055	-0.000309	1124715	1137942
63-75	-351.59	-5.44	0.0000049	-0.000309	1125121	1137936
64-76	-340.36	19.82	0.0001372	-0.0001422	144382	2392156
76-79	-340.36	11.22	0.0000769	-0.0001421	145763	2394847
79-82	-340.36	8.76	0.0000599	-0.000142	146134	2395338
82-85	-340.36	-12.15	0.0000634	-0.0001421	145615	2394631
85-88	-340.36	-14.61	0.0001006	-0.0001421	145222	2393972
88-89	-1.07	-43.57	0.0003794	0.0000453	114815	23590
89-90	-1.07	-26.78	0.0002319	0.0000276	115439	38695
90-91	-1.07	-21.82	0.0001886	0.0000223	115688	47831
91-92	-1.07	13.46	0.0001153	0.0000134	116329	79608
92-93	-1.07	12.68	0.0001059	0.0000125	116422	65048
69-77	-518.85	25.63	0.0001786	-0.0002288	143433	2349541

C.No.	N(t)	m(tm)	(1/m)	$\frac{du}{ds}$	EI(tm ²)	EA(t)
77-80	-518.85	14.75	0.0001015	-0.0002205	145199	2352499
80-83	-518.85	11.65	0.00008	-0.0002205	145695	2353039
83-86	-518.85	-14.75	0.0001016	-0.0002205	145197	2352500
86-93	-518.85	-17.67	0.0001234	-0.0002205	144697	2351627
93-94	-0.86	-45.72	0.0003986	0.0000478	114682	17980
94-95	-0.86	-25.52	0.0002211	0.0000265	115381	32410
95-96	-0.86	-19.42	0.0001678	0.00002	115678	42938
96-97	-0.86	16.16	0.0001394	0.0000165	115885	52001
97-98	-0.86	14.25	0.0001226	0.0000144	116084	59356
75-78	-328.29	-19.91	0.0000178	-0.000287	1117381	1143551
78-81	-328.29	-16.34	0.0000145	-0.000287	1119307	1143627
81-84	-328.29	-15.82	0.0000136	-0.000287	1119853	1143651
84-87	-328.29	-6.65	0.0000059	-0.000287	1124478	1143760
87-99	-328.29	-5.63	0.000005	-0.000287	1125031	1143771
88-100	-309.97	20.35	0.000141	-0.0001282	144286	2398558
100-103	-309.97	11.56	0.0000793	-0.000129	145789	2401667
103-106	-309.97	9.05	0.0000619	-0.000129	146106	2402234
106-109	-309.97	-12.29	0.0000644	-0.000129	145593	2401480
109-112	-309.97	-14.88	0.0001019	-0.0001291	145191	2400733
112-113	-1.31	-44.62	0.0003884	0.0000462	114855	28354
113-114	-1.31	-27.55	0.0002384	0.0000282	115528	46428
114-115	-1.31	-22.50	0.0001942	0.0000228	115803	57349
115-116	-1.31	14.41	0.0001237	0.0000141	116474	92333
116-117	-1.31	13.70	0.0001175	0.0000134	116561	97585
93-101	-473.17	25.32	0.0001764	-0.0002004	143484	2360182
101-104	-473.17	14.59	0.0001604	-0.0002002	145225	2363343
104-107	-473.17	11.53	0.0000791	-0.0002001	145714	2363919
107-110	-473.17	-14.53	0.0001	-0.0002002	145235	2363354

C.No	N(t)	m(tm)	x(1/m)	$\frac{du}{ds}$		EI(tm ²)	EA(t)
				du	ds		
110-117	-473.17	-17.60	0.0001215	-0.0002062	144740	2362635	
117-118	-1.11	-43.84	0.0003818	0.0000455	114818	24343	
118-119	-1.11	-24.02	0.00002077	0.0000246	115595	44987	
119-120	-1.11	-18.05	0.0001556	0.0000182	115959	60658	
120-121	-1.11	15.40	0.0001325	0.0000154	116176	71799	
99-102	-304.36	-21.39	0.0000191	-0.0002647	1116583	1149413	
102-105	-304.36	-17.22	0.0000153	-0.0002647	1118824	1149515	
105-108	-304.36	-16.02	0.0000143	-0.0002647	1119471	1149544	
108-111	-304.36	-5.89	0.0000052	-0.0002647	1124881	1149689	
111-123	-304.36	-4.70	0.0000041	-0.0002647	1124489	1149685	
112-124	-279.12	21.03	0.0001458	-0.000116	144185	2404800	
124-127	-279.12	12.03	0.0000826	-0.0001156	145635	2408465	
127-130	-279.12	9.46	0.0000647	-0.0001158	146043	2409135	
130-133	-279.12	-12.39	0.0000851	-0.0001158	145577	2408361	
133-136	-279.12	-14.96	0.000103	-0.0001159	145166	2407505	
136-137	-2.01	-45.81	0.0003982	0.0000467	115826	43041	
137-138	-2.01	-28.41	0.0002452	0.0000283	115837	70802	
138-139	-2.01	-23.25	0.0002001	0.0000229	116190	87754	
139-140	-2.01	15.50	0.0001324	0.0000146	117014	137441	
140-141	-2.01	14.89	0.0001271	0.0000139	117168	143870	
117-125	-428.59	25.17	0.0001753	-0.0001808	143509	2370339	
125-128	-428.59	14.58	0.0001003	-0.0001805	145226	2373765	
128-131	-428.59	11.55	0.0000792	-0.0001805	145711	2374395	
131-134	-428.59	-14.17	0.0000975	-0.0001805	145292	2373860	
134-141	-428.59	-17.20	0.0001187	-0.0001806	144805	2373097	
141-142	-3.06	-42.76	0.0003702	0.0000424	115438	72170	
142-143	-3.06	-23.16	0.0001981	0.0000217	116054	140952	
143-144	-3.06	-17.27	0.0001467	0.0000154	117668	198309	
144-145	-3.06	14.91	0.0001261	0.0000129	118148	237051	

ζ .No.	N(t)	m(tm)	x(1/m)	$\frac{du}{ds}$	EI(tm ²)	EA(t)
145-146	-3.06	12.60	0.0001078	0.0000106	118713	287265
123-126	-279.80	-22.06	0.0000197	-0.0002421	1116233	1155374
126-129	-279.80	-17.11	0.0000152	-0.0002421	1116878	1155510
129-132	-279.80	-15.69	0.000014	-0.0002421	1119650	1155547
132-135	-279.80	-9.66	0.0000032	-0.0002421	1125268	1155697
135-147	-279.80	-2.25	0.0000020	-0.0002421	1126325	1155723
136-148	-247.72	21.85	0.0001516	-0.0001027	144051	2410801
148-151	-247.72	12.30	0.0000844	-0.0001025	145592	2415334
151-154	-247.72	9.57	0.0000655	-0.0001025	146026	2416148
154-157	-247.72	-13.63	0.0000937	-0.0001025	145379	2414662
157-160	-247.72	-16.36	0.0001128	-0.0001026	144940	2413731
160-161	0.88	-41.94	0.0003662	0.0000456	114229	19285
161-162	0.88	-25.43	0.0002223	0.0000283	114360	31084
162-163	0.88	-20.60	0.00018	0.0000231	114419	38020
163-164	0.88	12.54	0.0001087	0.0000145	114213	60671
164-165	0.88	11.61	0.0001017	0.0000135	114155	65167
141-149	-384.92	26.14	0.0001823	-0.0001617	143349	2379577
149-152	-384.92	14.82	0.000102	-0.0001614	145188	2383780
152-155	-384.92	11.58	0.0000794	-0.0001614	145706	2384536
155-158	-384.92	-15.92	0.0001087	-0.0001614	145811	2383478
158-165	-384.92	-19.16	0.0001326	-0.0001615	144488	2382459
165-166	5.30	-40.41	0.0003583	0.0000489	112770	106328
166-167	5.30	-20.95	0.0001878	0.0000283	111547	186871
167-168	5.30	-15.11	0.0001368	0.0000221	110376	239227
168-169	5.30	16.24	0.0001467	0.0000233	110672	226931
169-170	5.30	14.09	0.000128	0.000021	110066	251520
147-150	-254.86	-20.18	0.00001806	-0.0002194	1117234	3161440
150-153	-254.86	-13.09	0.0000116	-0.0002194	1121045	1161622
153-156	-254.86	-11.06	0.0000098	-0.0002193	1122130	1161663

Ç.No.	N(t)	M(tm)	x(1/m)	$\frac{du}{ds}$	EI(tm ²)FA(t)	
160-172	-217.98	15.93	0.0003496	-0.0001604	45564	1358738
172-175	-217.98	7.98	0.0001714	-0.0001597	46349	1364283
175-178	-217.98	5.71	0.0001219	-0.0001596	46823	1365156
178-181	-217.98	-7.91	0.0001698	-0.0001597	46557	1364314
181-184	-217.98	-10.18	0.0002199	-0.0001599	46280	1363145
184-185	-3.22	-37.97	0.0003199	0.0000362	115549	88807
185-186	-3.22	-21.62	0.0001845	0.0000199	117139	161775
186-187	-3.22	-17.10	0.0001451	0.000015	117838	213469
187-188	-3.22	10.63	0.0000687	0.0000081	119744	394112
188-189	-3.22	9.39	0.000078	0.0000068	120895	470283
165-173	-339.84	16.82	0.00037	-0.0002552	45451	1331627
173-176	-339.84	8.58	0.0001846	-0.0002544	46476	1335584
176-179	-339.84	6.23	0.0001332	-0.0002543	46760	1336218
179-182	-339.84	-7.88	0.0001692	-0.0002544	46561	1335795
182-189	-339.84	-10.23	0.000221	-0.0002545	46274	1335014
189-190	-4.01	-33.29	0.0002859	0.0000314	116424	127507
190-191	-4.01	-14.76	0.0001283	0.0000117	119151	340400
192-193	-4.01	16.90	0.0001425	0.000014	118573	285175
193-194	-4.01	14.44	0.000121	0.0000114	119252	350552
171-174	-229.68	-6.81	0.0000075	-0.0002488	898791	923112
174-177	-229.68	-3.42	0.0000038	-0.0002486	899839	923132
177-180	-229.68	-2.45	0.0000027	-0.0002486	900574	923148
180-183	-229.68	3.35	0.0000037	-0.0002486	899894	923141
183-195	-229.68	4.32	0.0000047	-0.0002486	900114	923130
184-196	-189.82	18.94	0.0004192	-0.0001395	45173	1360572
196-199	-189.82	9.88	0.0002133	-0.0001386	46317	1369469
199-202	-189.82	7.29	0.0001563	-0.0001384	46632	1370918
202-205	-189.82	-8.25	0.0001773	-0.0001385	46516	1370433
205-208	-189.82	-10.84	0.0002346	-0.0001386	46199	1368813

ζ No.	N(t)	M(tm)	x(1/m)	$\frac{du}{ds}$	EI(tm ²)	EA(t)
208-209	-3.04	-40.81	0.000353	0.0006493	115579	75788
209-210	-3.04	-24.31	0.0002032	0.0006229	116722	132442
210-211	-3.04	-19.45	0.0001658	0.0006177	117303	170998
211-212	-3.04	14.19	0.0001199	0.0006121	118302	256015
212-213	-3.04	13.29	0.0001121	0.0006111	118544	271508
189-197	-294.72	18.55	0.0004101	-0.0002188	45229	1340398
197-200	-294.72	9.77	-0.0002108	-0.0002188	46331	1345671
200-203	-294.72	7.26	0.0001556	-0.0002188	46626	1346770
203-206	-294.72	-7.50	0.0001674	-0.0002188	46571	1346602
206-213	-294.72	-10.31	0.0002228	-0.000219	46265	1345642
213-214	-3.56	-29.76	0.0002556	0.0006282	116501	126188
214-215	-3.56	-11.59	0.0006093	0.0006091	119654	388082
215-216	-3.56	-6.56	0.0000631	0.0006094	103820	7645014
216-217	-3.56	15.95	0.0001347	0.0006135	118368	263554
217-218	-3.56	13.27	0.0001113	0.0006106	119141	334382
195-198	-202.97	-17.27	0.0006193	-0.0002184	893180	929333
198-201	-202.97	-11.07	0.0006123	-0.0002183	896517	929506
201-204	-202.97	-9.39	0.0006103	-0.0002183	897465	929539
204-207	-202.97	1.32	0.0006014	-0.0002183	901426	923653
207-219	-202.97	3.09	0.0006034	-0.0002183	900097	929610
220-223	-159.92	10.97	0.0002375	-0.0001163	46183	1374885
223-226	-159.92	8.14	0.0001749	-0.0001161	46530	1376989
226-229	-159.92	-8.87	0.0001909	-0.0001161	46441	1376510
229-232	-159.92	-11.70	0.0002538	-0.0001163	46093	1374232
232-233	-4.10	-44.77	0.0003868	0.0006434	115718	94468
233-234	-4.10	-27.24	0.0002327	0.0006249	117015	164260
234-235	-4.10	-22.04	0.0001873	0.0006194	117672	210891
235-236	-4.10	17.46	0.0001473	0.0006145	118521	281468

C.No.	N(t)	M(tm)	x(1/m)	$\frac{du}{ds}$		EI(tm ²)	EA(t)
				du	ds		
236-237	-4.10	16.90	0.0001686	0.0000171	118025	238860	
213-221	-252.39	19.55	0.0004287	-0.0001871	46136	1348464	
221-224	-252.39	10.21	0.0002306	-0.0001862	46277	1355427	
224-227	-252.39	7.59	0.0001628	-0.000186	46596	1356574	
227-230	-252.39	-6.48	0.0001736	-0.000186	46537	1356388	
230-237	-252.39	-10.79	0.0002315	-0.0001862	46217	1355172	
237-238	-5.59	-27.56	0.000234	0.0000237	117770	235269	
238-239	-5.59	-9.99	0.0000806	0.0000051	123797	1082719	
239-240	-5.59	-4.78	0.0000356	-0.0000001	134263	37304912	
240-241	-5.59	15.90	0.0001321	0.0000114	120337	490182	
241-242	-5.59	19.12	0.0001079	0.0000034	121577	660755	
219-222	-175.19	-19.10	0.0000214	-0.0001871	692195	935846	
222-225	-175.19	-10.42	0.0000116	-0.0001871	696663	936134	
225-228	-175.19	-7.94	0.0000088	-0.0001871	696180	936182	
228-231	-175.19	5.95	0.0000077	-0.0001871	696717	936199	
231-243	-175.19	9.43	0.0000105	-0.0001871	697395	936154	
232-244	-128.31	23.15	0.0003639	-0.0000839	39643	1529027	
244-247	-128.31	11.78	0.0002556	-0.0000829	46878	1380059	
247-250	-128.31	8.53	0.0001835	-0.0000927	46482	1383267	
250-253	-128.31	-10.95	0.0002373	-0.0000929	46105	1380972	
253-256	-128.31	-14.21	0.0003102	-0.0000931	45800	1376943	
256-257	7.55	-34.86	0.0003119	0.0000453	111753	165655	
257-258	7.55	-19.42	0.0001768	0.0000292	109812	257826	
258-259	7.55	-14.91	0.0001375	0.0000245	108416	307724	
259-260	7.55	12.73	0.0001185	0.0000222	107399	339220	
260-261	7.55	11.47	0.0001075	0.0000209	106651	360374	
237-245	-212.33	21.03	0.0004683	-0.0001575	44900	1353787	
245-248	-212.33	10.84	0.0002346	-0.0001564	46199	1363764	

C.No.	N(t)	M(tm)	x(1/m)	$\frac{du}{ds}$	EI(tm ²)	EA(t)
248-251	-212.33	7.91	0.0001703	-0.0001562	46555	1365354
251-254	-212.33	-9.54	0.0002057	-0.0001563	46359	1364540
254-261	-212.33	-12.45	0.0002706	-0.0001565	46000	1362651
261-262	16.87	-24.56	0.0002313	0.0000456	106141	369956
264-265	16.87	19.96	0.000191	0.0000469	104469	411854
265-266	16.87	17.22	0.0001817	0.0000382	103035	440680
243-246	-146.87	-11.55	0.0000126	-0.0001557	896259	942736
246-249	-146.87	1.05	0.0000011	-0.0001557	901628	942913
249-252	-146.87	4.65	0.0000051	-0.0001557	899945	942887
252-255	-146.87	26.25	0.0000295	-0.0001559	883316	941987
255-267	-146.87	29.85	0.0000336	-0.0001559	886356	941711
256-268	-100.18	9.27	0.0011137	-0.000169	8323	592624
268-271	-100.18	4.75	0.0005375	-0.0001691	8336	592311
271-274	-100.18	3.45	0.0003857	-0.0001686	8344	593055
274-277	-100.18	-4.39	0.0004845	-0.0001689	8374	592907
277-280	-100.18	-5.60	0.000639	-0.0001695	8763	591003
280-281	-3.77	-21.70	0.0001846	0.0000194	117500	194129
282-283	-3.77	-4.63	0.0000437	-0.0000009	105316	3862202
283-284	-3.77	10.79	0.0000895	0.0000077	126454	483961
261-269	-168.52	7.72	0.0009801	-0.0002937	8576	573658
269-272	-168.52	4.05	0.0004553	-0.0002917	8834	577606
272-275	-168.52	3.00	0.000334	-0.0002914	8981	578236
275-278	-168.52	-3.29	0.0003672	-0.0002915	8957	578084
278-285	-168.52	-4.33	0.0004881	-0.0002916	8871	577403
285-286	-4.40	-15.81	0.0001326	0.0000125	119222	351883
287-288	-4.40	6.32	0.0000601	-0.0000005	104994	7750592
288-289	-4.40	24.18	0.0002056	0.0000214	117555	205557
289-290	-4.40	21.23	0.0001799	0.0000182	118007	240809

G.No.	N.(t)	M(tm)	x(l/m)	$\frac{du}{ds}$	EI(tm ²)	EA(t)
267-270	-118.80	17.42	0.000026	-0.0001685	667470	704657
270-273	-118.80	18.21	0.0000272	-0.0001686	667041	704610
273-276	-118.80	19.44	0.0000276	-0.0001686	666918	704596
276-279	-118.80	19.89	0.0000297	-0.0001686	666177	704509
279-291	-118.80	20.43	0.00003	-0.0001686	666052	704492
280-292	-75.64	11.58	0.0017824	-0.0000868	6497	871044
295-298	-75.64	4.55	0.0005139	-0.0001266	6853	597352
298-301	-75.64	-4.82	0.0005463	-0.0001267	8022	596854
304-305	-3.27	-24.42	0.000209	0.0000226	116847	143228
305-306	-3.27	-10.06	0.0000637	0.0000075	120100	435341
306-307	-3.27	-5.92	0.0000569	0.0000003	103606	9006140
307-308	-3.27	15.59	0.0001318	0.0000134	116197	243665
308-309	-3.27	13.97	0.0001177	0.0000116	116606	279749
285-293	-122.21	8.79	0.0010369	-0.0002104	8476	580644
293-296	-122.21	4.68	0.0005293	-0.0002079	8842	587740
296-299	-122.21	3.51	0.0003926	-0.0002075	8939	588880
299-302	-122.21	-3.54	0.0003961	-0.0002075	8937	588856
302-309	-122.21	-4.71	0.0005326	-0.0002079	8839	587707
309-310	-3.50	-10.75	0.0000695	0.00000801	120068	436562
310-311	-3.50	5.62	0.0000537	-0.00000007	104481	46465152
311-312	-3.50	10.43	0.0000667	0.0000076	120252	455974
312-313	-3.50	24.33	0.0002079	0.0000224	116994	155583
313-314	-3.50	21.15	0.0001601	0.0000191	117394	183115
291-294	-89.66	-2.47	0.0000036	-0.0001259	674957	711923
294-297	-89.66	1.40	0.000002	-0.0001259	673761	711937
297-300	-89.66	2.51	0.0000037	-0.0001259	674928	711925
300-303	-89.66	9.15	0.0000136	-0.0001259	671932	711755
303-315	-89.66	10.25	0.0000152	-0.0001259	671341	711708

C.No.	N.(t)	M(tm)	x(1/m)	$\frac{du}{ds}$	EI(tm ²)	EA(t)
304-316	-49.31	12.58	0.0025772	0.0000461	4881	1067361
316-319	-49.31	6.67	0.0009275	-0.0006661	7191	745067
319-322	-49.31	4.98	0.000592	-0.0000793	8411	621215
322-325	-49.31	-5.16	0.0006223	-0.0000785	8291	627538
325-328	-49.31	-6.85	0.0009679	-0.0000641	7077	768831
328-329	-3.27	-25.85	0.0002215	0.0000243	116703	134294
329-330	-3.27	-10.86	0.0000987	0.0000263	119709	390886
330-331	-3.27	-6.51	0.0000628	0.0000007	103638	4408516
331-332	-3.27	18.60	0.0001681	0.0000166	117613	196591
309-317	-78.84	9.15	0.0011866	-0.0001227	7711	642333
317-320	-78.84	4.87	0.0005518	-0.0001322	8825	596208
320-323	-78.84	3.65	0.0004088	-0.0001318	8928	596123
323-326	-78.84	-3.67	0.0004111	-0.0001318	8926	596096
326-333	-78.84	-4.89	0.0005543	-0.0001322	8821	596170
333-334	-3.23	-7.15	0.0000692	0.0000012	103284	2687144
335-336	-3.23	13.28	0.0001118	0.0000109	118762	293641
337-338	-3.23	20.57	0.0001753	0.0000187	117285	172034
315-318	-59.34	-11.71	0.0000174	-0.0000826	670556	718397
318-321	-59.34	-5.38	0.0000079	-0.0000825	673849	718753
321-324	-59.34	-3.57	0.0000052	-0.0000825	674911	718804
324-327	-59.34	7.27	0.0000108	-0.0000825	672939	718674
327-339	-59.34	9.09	0.0000135	-0.0000825	671970	718577
328-340	-21.93	13.10	0.0034485	0.00022	3608	99651
340-343	-21.93	6.89	0.001509	0.000054	4559	405782
343-346	-21.93	5.11	0.0009784	0.0000107	5222	2034192
346-349	-21.93	-5.55	0.0011083	0.000021	5007	1040420
349-352	-21.93	-7.32	0.0016433	0.0000653	4454	335595
352-353	6.21	-13.54	0.0001241	0.0000215	169030	288357

Q.No.	N.(t)	M(tm)	x(1/m)	$\frac{du}{ds}$	EI(tm ²)	EA(t)
355-356	6.21	16.82	0.0001527	0.000123	110108	248363
356-357	6.21	15.14	0.0001525	0.0001232	109630	266771
333-341	-37.49	9.06	0.0017891	0.000245	5364	1525668
341-344	-37.49	4.82	0.0006123	-0.0000525	7503	713257
344-347	-37.49	3.61	0.0004184	-0.0000605	8620	619055
347-350	-37.49	-3.66	0.0004261	-0.0000603	8589	620824
350-357	-37.49	-4.89	0.0006554	-0.0000519	7446	721676
358-359	12.27	12.39	0.0001245	0.0000281	108450	435191
359-360	12.27	15.79	0.0001587	0.0000321	105731	382119
360-361	12.27	23.67	0.0002189	0.0000392	108132	312953
361-362	12.27	26.57	0.0001918	0.0000336	107244	340912
339-342	-26.08	-13.01	0.0000194	-0.0000307	668865	723954
342-345	-26.08	-4.42	0.00000851	-0.0000386	674450	725700
345-348	-26.08	-1.97	0.0000029	-0.0000366	675332	725808
351-363	-26.08	15.21	0.0000227	-0.0000388	668651	723574
156-159	-254.86	6.17	0.0000054	-0.0002193	1124736	1161725
332-333	-3.27	17.20	0.0001459	0.0000151	117862	215992
159-171	-254.86	8.20	0.0000072	-0.0002193	1123661	1161696

Yükleme 2 :

Bu yüklemede eşdeğer statik yükler doğrudan doğruya çerçeveye yüklenmiştir yani yükler 1 ile çarpılmıştır. Sonuçlar Tablo 3.2.'de verilmiştir. Sonuçlarda, (1-4) çubuğuna 510,74 ton basınc kuvveti ile 31,37 ton metre moment etkimektedir; (2-5) çubuğuna 604,83 ton basınc kuvveti ile 34 tm moment etkimistir; (3-6) çubuğuna 371,93 ton basınc kuvveti ile 107,38 tm moment etkimektedir.

Görüldüğü gibi, perde elemanına gelen moment bir önceki yüklemeye göre yaklaşık üç kat artmıştır. Bir önceki yüklemeye göre en alttaki perde elemanına gelen basınc kuvveti bir miktar azalmıştır. Ayrıca orta kolonun en alt elemanına da etkiyen basınc kuvveti bir miktar azalmış, kenar kolona etkiyen basınc kuvveti artmıştır. Ayrıca kenar ve orta kolon elemanlarına ve kirişlere etkiyen momentlerde de artış gözlenmiştir.

TABLO 3.2. -47-

C.No.	N.(t)	M(tm)	x(1/m)	$\frac{du}{ds}$	EI(tm ²)	EA(t)
1-4	-510.74	31.37	0.00022	-0.0002173	142576	2350315
16-17	-0.77	-42.75	0.0003725	0.0000448	114754	17181
17-18	-0.77	-36.24	0.0002275	0.0000273	115315	28109
2-5	-604.83	34.00	0.0002391	-0.00026	142149	2325691
21-22	-4.66	-54.71	0.0004741	0.0000531	115379	37696
23-24	-4.66	-29.29	0.00025	0.0000265	117129	175610
3-6	-371.93	107.38	0.0001005	-0.0003304	1067925	1125560
40-41	-1.11	-52.19	0.0004555	0.0000542	114564	20443
49-50	-3.61	23.59	0.0002013	0.00002159	117164	167179
69-70	-1.61	-68.35	0.0005985	0.0000703	114191	23160
64-76	-412.86	26.17	0.0001832	-0.0001739	143351	2374027
88-89	-1.24	-52.52	0.0004583	0.0000545	114581	22751
69-77	-469.73	42.46	0.0002017	-0.0001929	140730	2349541
93-94	-1.54	-79.64	0.0006895	0.0000819	113847	18797
117-118	-1.89	-72.20	0.0006326	0.000074	114126	25533
141-142	-5.87	-76.56	0.0006675	0.0000741	114669	79114
136-148	-311.43	28.36	0.0001983	-0.00013	143808	2394242
149-152	-319.42	27.48	0.0001919	-0.0001335	143183	2392498
150-153	-256.65	15.97	0.0000169	-0.0002289	1117896	1161622
159-171	-256.65	29.09	0.0000261	-0.0002289	1112539	1161696
160-172	-278.48	24.52	0.0005517	-0.000208	44438	1338314
165-173	-268.42	41.89	0.0010345	-0.0001955	40492	1372487
182-189	-268.42	-20.36	0.0004525	-0.0001997	44988	1343828
189-190	-7.53	-64.83	0.000561	0.0000605	115544	124431
171-174	-240.60	56.35	0.0000646	-0.000262	871499	918057
184-196	-243.83	33.15	0.0007724	-0.0001806	42915	1348159
208-209	-7.01	-65.82	0.0005705	0.000062	115366	112909
189-197	-222.79	42.78	0.0011596	-0.0001438	36890	1548705

Q.No.	N(t)	M(tm)	x(1/m)	$\frac{du}{ds}$		
				EI(tm ²)	EA(t)	
232-233	-4.93	-71.74	0.0006253	0.0000702	114720	70427
213-221	-183.61	45.24	0.0014238	-0.0000789	31773	2324953
230-237	-183.61	-19.32	0.0004281	-0.0001349	45124	1360943
237-238	-6.31	-43.37	0.0003721	0.0000396	116546	159273
232-244	-162.75	37.46	0.0011177	-0.0000807	33515	2016685
237-245	-149.17	43.78	0.0015182	-0.0000263	28783	5667517
254-261	-149.17	-24.00	0.0005745	-0.0001039	41774	1435139
243-246	-175.58	34.19	0.000062	-0.0001581	873584	933128
256-268	-125.55	23.73	0.00441	-0.000082	5381	1531031
268-271	-125.55	12.21	0.0015217	-0.0002158	6024	587112
271-274	-125.55	8.92	0.0010538	-0.0002163	8464	580254
277-280	-125.55	-14.11	0.0016768	-0.0002052	7516	611681
280-281	-6.02	-50.39	0.0004343	0.0000472	115984	127510
261-269	-110.60	19.14	0.0033054	-0.0000989	5799	1117332
269-272	-110.60	19.83	0.0015957	-0.0001862	6168	593800
275-278	-110.60	-5.76	0.0006608	-0.0001688	8746	588287
278-285	-110.60	-8.15	0.0009493	-0.0001624	6585	606176
285-286	-4.75	7.64	0.0000731	-0.00000009	104469	50824608
267-270	-151.36	84.98	0.0001352	-0.0002201	628322	687586
279-291	-151.36	101.51	0.0001635	-0.0002312	620654	683976
280-292	-91.39	24.76	0.0054334	0.0001049	4557	870730
295-298	-91.39	8.91	0.0010799	-0.0001522	8250	600198
298-301	-91.39	-12.22	0.0017444	-0.0001291	7005	707376
304-305	-3.58	-49.80	0.0004317	0.0000491	115339	72791
308-309	-3.58	45.22	0.0003912	0.0000444	115587	80630
285-293	-84.49	16.12	0.0028825	-0.0000446	5573	1893049
291-294	-111.62	30.34	0.0000459	-0.0001582	660691	705404
304-316	-56.83	21.73	0.0052776	0.0002389	4117	248171
351-363	-33.23	32.41	0.0000543	-0.000042	596461	789347

Yükleme 3 :

Bu yüklemede eşdeğer statik yüklerin 2 ile çarpımları çerçeveye yüklenmiştir. Yani çerçeveye gelen deprem yükleri iki kat artmıştır. Tablo 3.3.'de elemanlara gelen yükler ve sonuçları gösterilmiştir. Çerçevenin (1-4) çubuguna 594 ton basınç kuvveti 59,44 tm moment etkimiş, (2-5) çubuguna 632,08 ton basınç kuvveti ile 64,13 tm moment etkimiş, (3-6) çubuguna 261,42 ton basınç kuvveti ile 231,14 tm moment etkimiştir. Bu sonuçlara göre perde elemanın momenti bu yüklemede yaklaşık olarak 2,3 kat artmış, etkiyen basınç kuvveti azalmaya devam etmiştir.

Bu yüklemede ayrıca çerçevenin bir elemanında da plastik mafsal oluşmuştur. (328-340) nolu kenar kolona ait çubuk elemanında, normal kuvvetin önemli derece azalması sebebiyle (18,68 ton basınç kuvveti), faydalı normal kuvvetin azalması yüzünden 27,47'lik bir momentle bu çubukta plastik mafsal oluşmuştur. Çubuk esasında 26,20 tm'lik bir moment sınır değeriyle (plastik moment), plastik mafsal oluşumuna varmaydı. (Aynı normal kuvvet altında) plastik moment ve aynı normal kuvvet halinde çubukta plastik mafsal oluşunu çelikten meydana gelmiştir. Bu anda, çekme donatısındaki uzama $\epsilon = 0,013$ değerindedir ve $\epsilon_1 = 0,01$ sınır değeri aşılmıştır. Basınç bölgesindeki betonun dış basınç lifindeki kısılma ise $\epsilon = 0,0025$ olmuştur. Bu değer 0,0035 sınır değerine ulaşamamıştır. Plastik moment (26,2 tm) ile aynı normal kuvvet (18,68 ton) altında yani plastik mafsalın olduğu ilk anda çubugun birim dönmesi $X = 0,0448919 \text{ l/m}$, $(\frac{du}{ds})$ şekildeğistirmesi de, $(\frac{du}{ds}) = 0,0064067$ 'dir. Bu anda kesitin sahip olduğu eğilme rijitliği $EI = 584 \text{ tm}^2/\text{m}^2$, uzama rijitliği de $EA = 2916 \text{ ton}'dur$. Yükleme sonucunda bu çubuga gelen moment, plastik momentten daha büyük olduğu için, bu elemanın rijitlikleri daha da küçük miktarlarda alınmıştır.

Ayrıca (340-343) çubuk elemanında da plastik mafsala oldukça yaklaşılmıştır. Bu çubuğa etkiyen moment $25,20 \text{ t}\cdot\text{m}$, normal kuvvet $18,68 \text{ ton}$ basınç idi. Bu çubukta çekme donatısındaki uzama $\epsilon = 0,0096$ 'dır yani sınır değerine çok yakındır. Basınç bölgesindeki betonun dış basınç lifindeki kısalma $\epsilon = 0,002$ değeriyle sınır değerden uzakta kalmıştır.

Bu çubugun, eğilme rigitliği $EI = 2993 \text{ t}\cdot\text{m}^2$, uzama rigitliği $EA = 26116 \text{ ton}$ değerlerine inmmistir. Plastik mafsal olusan (328-348) nolu çubukta plastik moment ile aynı normal kuvvet etkisi altında, yani plastik mafsalının oluşturduğu ilk anda betonun basınç bölgesindeki dış basınç lifindeki kısalma $\epsilon = 0,00257$ dir. Yani betonda sınır şekildeğistirmeyez ulasılmıştır. ($\epsilon_1 = 0,0035$) Çekme donatısındaki uzama $\epsilon = 0,0135$ dir. Çelikte de sınır şekildeğistirme miktarı asılı değildir. ($\epsilon = 0,01$)

TABLO 3.3:

-51-

C.No.	N(t)	M(tm)	x(l/m)	$\frac{du}{ds}$		EI(tm ²)	EA(t)
				du	ds		
1-4	-594.00	59.44	0.0004319	-0.0002565	137610	2315279	
16-17	-0.48	-69.58	0.0006106	0.0000728	113938	6588	
17-18	-0.48	-47.08	0.000411	0.0000496	114538	9667	
2-5	-632.05	64.13	0.0004689	-0.0002744	136761	2302990	
8-11	-632.05	58.56	0.0003654	-0.0002734	139159	2311331	
21-22	-4.05	-73.48	0.0006418	0.000073	114485	55470	
23-24	-4.05	-43.11	0.0003722	0.0000417	115017	97091	
3-6	-261.42	231.14	0.0002404	-0.0002227	961220	1173370	
16-28	-554.09	50.23	0.0003606	-0.0002379	139269	2328786	
40-41	-1.81	-85.82	0.0007637	0.0000888	113662	20371	
21-29	-590.83	68.04	0.0005	-0.0002561	136080	2306649	
49-50	-6.45	44.30	0.0003802	0.0000484	116504	159466	
40-52	-567.34	48.25	0.0003304	-0.0002166	139960	2341451	
45-53	-551.88	72.60	0.0005369	-0.0002389	135208	2309264	
69-70	-3.86	-98.50	0.000667	0.0000982	113691	39281	
64-76	-459.42	44.65	0.0003184	-0.0001952	140216	2353303	
88-89	-3.60	-91.20	0.0006013	0.0000913	113806	39428	
93-94	-3.26	-98.49	0.0006676	0.0000989	113516	32961	
88-100	-410.74	45.34	0.0003235	-0.0001739	140117	2361640	
117-118	-2.99	-89.38	0.0007856	0.0000981	113766	33165	
112-124	-361.07	46.45	0.000332	-0.0001523	139904	2369753	
141-142	-6.19	-86.42	0.0007557	0.0000637	114343	73885	
123-126	-207.22	20.96	0.0006187	-0.0001767	1116815	1172684	
165-166	-0.14	-79.67	0.0007012	0.0000834	113603	1677	
160-172	-263.45	36.69	0.0008669	-0.000196	42323	1343560	
184-185	-8.63	-82.35	0.0007165	0.000077	114920	111940	
165-173	-354.64	54.93	0.0014112	-0.000257	38924	1344920	
189-190	-4.30	-64.85	0.0005646	0.0000639	114857	67238	

C.No.	N(t)	M(tm)	x(1/m)	$\frac{du}{ds}$		EI(tm ²)	EA(t)
				d	u		
184-196	-217.43	42.93	0.0011843	-0.0001364	36289	1593740	
208-209	-6.94	-76.66	0.0006673	0.0000731	114864	94849	
189-197	-310.47	49.05	0.0012377	-0.0002285	39629	1358237	
213-214	-6.43	-66.35	0.0005757	0.0000632	115249	101704	
195-198	-159.60	4.85	0.0000053	-0.0001638	899839	939907	
208-220	-180.29	37.16	0.0010369	-0.0001066	35835	1690481	
232-233	-4.45	-76.58	0.0006692	0.0000757	114428	58757	
213-221	-266.80	46.25	0.0012016	-0.0001869	33468	1427143	
237-238	-4.71	-60.87	0.0005287	0.0000594	115129	79258	
231-243	-140.41	7.89	0.0000067	-0.0001486	898215	944333	
232-244	-136.96	32.27	0.0009669	-0.0000637	33305	2147293	
256-257	2.31	-54.78	0.000482	0.0000606	113632	38081	
237-245	-229.97	46.55	0.0013086	-0.0001416	35560	1623467	
261-262	23.74	-55.42	0.000509	0.0000852	108753	278381	
285-286	-9.30	-34.26	0.0002889	0.000027	118586	344178	
267-270	-99.44	53.88	0.0000832	-0.0001413	646945	703216	
280-281	-9.11	-36.10	0.0003055	0.0000291	118164	312324	
304-305	-10.23	-36.22	0.0003051	0.0000281	118659	363698	
299-302	-132.09	-9.24	0.0010955	-0.0002283	8434	578473	
302-309	-132.09	-11.76	0.0014352	-0.0002284	8194	578318	
309-310	-10.12	-31.82	0.0002654	0.0000236	119410	428478	
291-294	-77.45	12.71	0.0000189	-0.0001024	689911	714108	
304-316	-49.49	16.89	0.0039151	0.0001505	4314	328762	
319-322	-49.49	6.63	0.0009153	-0.0000672	7243	736352	
328-329	-11.29	-44.73	0.0003794	0.0000359	117874	313553	
309-317	-86.08	17.36	0.0032266	-0.0000276	5377	3107960	
352-353	0.66	-12.23	0.0001068	0.0000139	114465	47373	
361-362	6.12	23.36	0.0002097	0.0000318	111382	192233	
339-342	-25.61	-8.30	0.0000123	-0.0000353	672389	725143	

Yüklemə 4 :

Bu yüklemede esdeger statik yüklerin 3 ile çarpımları çerçeveye yüklenmiştir. Yani çerçeveye gelen deprem yükleri üç kat arttırılmıştır. Tablo 3.4 de elementlara gelen yükler ve sonuçları gösterilmiştir. Örneğin çerçevenin (1-4) çubuğuna 665,07 ton basınc kuvveti ile 94,82 tm moment etkimiştir; (2-5) çubuğuna 637,84 ton basınc kuvveti ile 107,48 tm'lik moment, (3-6) çubuğuna 184,59 ton basınc kuvveti ile 285,84 tm moment etkimiştir. Bir önceki yüklenmeye göre (3-6) perde elementinin normal kuvvetinde azalma devam etmiştir. Bu üç çubuğunda momentleri artmıştır. Kenar kolonun (1-4) elementinin normal kuvvetindeki artışı devam etmiş, orta kolonun (2-5) elementinin normal kuvveti hemen hemen aynı kalmış, artmamıştır.

Önceki yüklemede plastik mafsal olusmus, kenar kolonun (328-340) çubuğunda, 14,69 ton basınc kuvveti ile 3,13 tm moment etkimiştir. Bu eleməna gelen moment ve normal kuvvet, yatay yükler artmasına rağmen çok düşük kalmıştır.

TABLO 3.4.

-54-

C.No.	N(t)	M(tm)	x(1/m)	$\frac{du}{ds}$	EI(tm ²)	EA(t)
1-4	-665.07	94.82	0.0007243	-0.0002939	130897	2263041
16-17	-0.23	-99.77	0.0000822	0.0001034	113091	2224
8-11	-637.84	79.74	0.0005957	-0.0002788	133848	2287044
3-6	-184.59	265.84	0.0003825	-0.0000733	746607	2516419
15-27	-184.59	172.09	0.0001775	-0.0001501	969429	1229490
40-41	-2.26	-119.17	0.0010475	0.0001191	112808	18963
45-46	-9.00	-107.79	0.0003463	0.0001018	113903	88342
27-30	-170.80	168.18	0.0001767	-0.0001348	851519	1266521
33-36	-170.80	129.31	0.0001246	-0.000145	1042297	1177435
39-51	-170.80	70.39	0.0000646	-0.0001453	1089636	1175294
64-65	-2.91	-124.03	0.0011805	0.000124	112697	23449
69-70	-3.94	-113.80	0.0010664	0.0001135	113075	31169
64-76	-483.43	63.41	0.0004632	-0.0002117	136891	2330271
69-77	-536.45	102.15	0.0007966	-0.0002305	128220	2326831
93-94	-2.36	-119.11	0.0010469	0.000119	112618	19830
75-78	-157.63	69.65	0.0000638	-0.0001338	1090231	1178097
112-113	-5.53	-124.30	0.0011005	0.0001215	112947	45507
93-101	-489.02	92.96	0.000717	-0.0002085	129642	2345018
117-118	-4.11	-109.36	0.0003654	0.0001086	113278	37828
99-102	-153.38	54.81	0.0000499	-0.0001298	1098369	1181344
136-137	-7.42	-111.91	0.0009853	0.0001075	113569	68979
117-125	-459.59	93.94	0.0007386	-0.0001923	127172	2389435
141-142	-3.21	-108.19	0.0009556	0.0001084	113211	29591
160-161	-4.55	-106.94	0.0009429	0.0001058	113407	42999
141-149	-415.93	86.75	0.0006822	-0.0001717	127149	2421736
165-166	0.27	-102.74	0.0009096	0.0001068	112950	2526
147-150	-138.43	39.66	0.0000358	-0.0001166	1106886	1186560
150-153	-138.43	25.46	0.0000228	-0.0001165	1114491	1187838

C.No.	N(t)	M(tm)	x(1/m)	$\frac{du}{ds}$	ET(tm ²)	EA(t)
175-178	-286.37	17.04	0.000375	-0.0002131	45436	1343739
181-184	-286.37	-31.49	0.0007212	-0.0002126	43848	1345253
165-173	-370.70	76.41	0.0023133	-0.0002399	33031	1544895
176-179	-370.70	27.53	0.0006252	-0.0002016	44031	1316225
171-174	-150.43	41.06	0.0000466	-0.0001391	880470	943657
184-196	-231.02	53.77	0.0016576	-0.0001169	32436	1975628
189-197	-338.37	64.87	0.0018448	-0.0002292	35163	1476262
200-203	-338.37	23.53	0.0005274	-0.0002549	44614	1327062
195-198	-118.11	27.86	0.0000313	-0.0001245	887610	948046
208-220	-186.28	48.80	0.0016016	-0.0000662	30469	2812183
229-232	-186.28	-31.68	0.0007895	-0.0001283	40124	1451254
213-221	-288.06	63.53	0.0019326	-0.0001653	32872	1745396
232-244	-143.34	37.81	0.0012255	-0.0000477	30852	3001256
237-245	-245.17	59.72	0.0019125	-0.0001132	31225	2163987
243-246	-98.99	54.16	0.000062	-0.0001044	873288	947617
255-267	-98.99	46.46	0.0000529	-0.0001042	877223	949502
256-268	-107.36	21.60	0.0041157	-0.0000396	5268	2709079
271-274	-107.36	7.17	0.0008314	-0.0001829	8624	506830
277-280	-107.36	-15.39	0.0023333	-0.0001422	6596	754497
261-269	-197.83	22.31	0.0032062	-0.0003442	6958	574638
272-275	-197.83	7.19	0.0008339	-0.0003482	8622	568085
267-270	-82.32	79.74	0.0001369	-0.0001078	582116	763636
280-292	-74.73	26.77	0.0045315	0.000103	4583	725419
295-298	-74.73	6.92	0.0008148	-0.000124	8493	601909
301-304	-74.73	-14.63	0.002645	-0.0000367	5531	2427555
285-293	-147.80	22.27	0.0036362	-0.0001923	6124	768549
291-294	-64.98	24.72	0.0000372	-0.0000907	663578	715673
325-328	-41.27	-11.76	0.0025171	0.000069	4672	597425
351-363	-19.52	-13.17	0.0000197	-0.0000268	667115	727489

Yükleme 5 :

Bu yüklemede esdeğer statik yüklerin 4 ile çarbinları çerçeveye yüklendiğidir. Yani çerçeveye gelen deprem yükleri dört kat artırılmıştır. Tablo 3.5 de elemanlara gelen yükler ve sonuçları gösterilmiştir. Örneğin çerçevenin (1-4) çubuğuuna 783,86 ton basınç kuvveti ile 124,19 tm moment, (2-5) çubuğuuna 634,09 ton basınç kuvveti ile 133,84 tm moment, (3-6) çubuğuuna 69,55 ton basınç ve 352,99 tm moment etkimiştir. (3-6) perde çubuğuunun normal kuvvet azalması devam etmiştir. (2-5) kolon çubuğuunun, normal kuvveti artmamıştır. (1-4) kolon çubuğuunun normal kuvveti artışına devam etmiştir.

TABLO 3.5.

-57-

Ç.No.	N(t)	M(tm)	x(1/m)	$\frac{du}{ds}$		EI(tm ²)	EA(t)
				du	ds		
7-10	-763.86	102.36	0.0007912	-0.0003511	129358	2232318	
16-17	-6.10	-127.99	0.0011396	0.0001309	112311	764	
2-5	-634.09	133.84	0.0011131	-0.0002718	120231	2332631	
21-22	-7.97	-112.62	0.0009913	0.0001076	113505	74023	
3-6	-69.55	352.99	0.0006668	0.0002961	529329	234833	
6-9	-69.55	359.49	0.0006368	0.0002775	539093	250570	
16-28	-721.60	88.44	0.0006689	-0.0003192	132208	2260456	
40-41	-2.81	-151.62	0.0013555	0.00015	111851	18725	
21-29	-603.07	122.11	0.0009891	-0.0002595	123450	2323617	
45-46	-10.47	-132.68	0.0011720	0.0001241	113124	84329	
27-30	-62.83	212.32	0.0003671	0.0001225	578274	512845	
40-52	-649.99	80.03	0.0006046	-0.0002847	133683	2282390	
64-65	-3.62	-156.43	0.0014192	0.0001554	111697	23280	
45-53	-574.34	129.94	0.0011027	-0.0002376	117836	2416664	
69-70	-4.78	-138.41	0.0012311	0.0001356	112422	35230	
51-54	-63.17	126.54	0.0001870	0.0000127	664164	4955167	
64-76	-575.06	81.44	0.0006094	-0.0002505	133638	2295112	
88-89	-4.60	-141.12	0.0012563	0.0001384	112321	33236	
69-77	-546.92	130.23	0.001131	-0.0002195	115138	2491145	
93-94	-4.39	-155.95	0.0013944	0.0001533	111834	28755	
75-78	-65.52	85.49	0.0001003	-0.0000364	851864	1796559	
88-100	-517.79	68.29	0.0005021	-0.0002231	135991	2319966	
112-113	-7.59	-158.69	0.0014171	0.0001513	111979	50159	
93-101	-483.77	125.84	0.0011343	-0.00018	110932	2686291	
117-118	-3.90	-134.98	0.0012003	0.0001334	112453	29233	
99-102	-85.94	98.04	0.0001076	-0.0000566	910821	1467522	
136-137	-8.91	-139.81	0.0012402	0.0001325	112731	67236	
117-125	-457.30	122.06	0.001111	-0.0001652	109855	2766697	

C.No.	N(t)	M(tm)	x(1/m)	$\frac{du}{ds}$	EI(tm ²)	EA(t)
141-142	-1.16	-130.39	0.0011606	0.000132	112342	8785
123-126	-87.81	82.29	0.0000822	-0.0000686	999949	1274898
136-148	-385.48	71.00	0.0005307	-0.0001623	133766	2374686
160-161	-6.46	-133.52	0.0011844	0.0001292	112730	49975
141-149	-413.89	102.87	0.0008861	-0.0001574	116089	2628630
165-166	0.49	-128.12	0.0011413	0.0001316	112252	3721
147-150	-88.12	71.18	0.0000674	-0.0000723	1054663	1218251
160-172	-331.19	59.80	0.001634	-0.0002326	36597	1423723
184-185	-13.32	-132.28	0.0011664	0.0001207	113401	110331
165-173	-355.90	94.22	0.0033639	-0.0001463	28009	2431537
189-190	-3.85	-103.11	0.0009088	0.0001028	113446	37445
171-174	-100.41	90.27	0.0001123	-0.0001013	803317	990895
184-196	-267.49	61.93	0.0019344	-0.0001393	32014	1919106
208-209	-14.07	-131.02	0.0011541	0.0001187	113521	118495
189-197	-325.26	61.66	0.0027681	-0.0001493	29500	2178501
213-214	-14.81	-94.23	0.0008176	0.0000824	115247	179669
195-198	-94.75	63.62	0.0000734	-0.0000999	666368	948107
208-220	-204.88	61.73	0.0022304	-0.0000308	27676	6631672
232-233	-9.22	-114.81	0.0010101	0.0001084	113662	85016
213-221	-295.35	64.41	0.0030733	-0.0000818	27465	3607514
237-238	-6.33	-96.76	0.0008489	0.0000939	113980	67409
219-222	-87.27	43.73	0.0000497	-0.0000916	878824	952222
232-244	-156.05	46.80	0.0016538	-0.0000217	28297	7187993
256-257	-0.17	-87.89	0.000775	0.0000916	113396	1854
237-245	-250.86	75.16	0.0027607	-0.0000454	27224	5518972
261-262	34.67	-73.80	0.000684	0.0001166	107882	297311
243-246	-80.59	71.78	0.0000882	-0.0000809	812983	995934
256-268	-109.14	25.89	0.0054121	0.0000372	4784	2932303
280-281	-17.63	-54.21	0.0004564	0.0000392	118776	449344

Yükleme 6 :

Bu yüklemede esdeğер statik yüklerin 5 ile çarpımları çerçeveye yüklemistir. Yani çerçeveye gelen deprem yükleri beş kat arttırmıştır. Tablo 3.6 da elemanlara gelen yükler ve sonuçları gösterilmistir. Örneğin çerçevenin (1-4) çubuğu na 394,96 ton basınç kuvveti ile 156,45 tm moment, (2-5) çubuğu na 619,62 ton basınç kuvveti ile 171,08 tm moment, (3-6) çubuğu na 27,07 ton çekme kuvveti ile 353,53 tm moment etkimiştir. Bu yüklemede ilk defa perde elemanlarında çekme kuvveti meydana gelmiştir. (3-6) perde çubuğu dışında, (27-30) perde çubuğu nda 25,79 ton çekme kuvveti, (51-54) perde çubuğu nda 15,62 ton çekme kuvveti, (75-78) perde çubuğu nda 3,65 ton çekme kuvveti meydana gelmiştir. (99-102) perde çubuğu nda çekme kuvveti tekrar basınç kuvvetine dönüştür. (99-102) çubuğu nda 29,45 ton basınç kuvveti oluşmuştur. Bu yüklemede farklı katlardaki perdeye ait bazı çubuk elemanlarının normal kuvvetleri, basınç halinden azala azala çekme haline dönüşmüslərdir.

Normal kuvveti çekme olan çubuklarda eğilme ve uzama rıjiliklerindeki azalmanın, normal kuvveti basınç olan duruma göre çok daha fazla olduğu gözlenmiştir. Yani sahit moment altında belli bir değere sahip bir çekme kuvveti, aynı değere sahip bir basınç kuvvetinden daha fazla rıjilik azamasına sebep olmaktadır. Esasında basınç kuvvetinin fazla olması kesitteki şekildeğiştirmeleri kiçültmektedir. Bu da eğilme ve uzama rıjiliklerindeki kiçülmeyi azaltmaktadır. Basınç kuvveti kesitte faydalı yük görevini görmektedir.

Bu arada orta kolona ait çubuklarda normal basınç kuvveti azalmaya, kenar kolona ait çubuklarda normal basınç kuvvetinin artmaya devam ettiği gözlenmektedir.

TABSLO 3.6.

C.No.	N(t)	M(tm)	x(1/m)	$\frac{du}{ds}$		EI(m^2)	EA(t)
				d ₁	d ₂		
1-4	-894.96	136.45	0.0012894	-0.0004144	120399	2159649	
7-10	-894.96	138.99	0.0010937	-0.0003913	124984	2286397	
2-5	-619.63	171.03	0.0016596	-0.0002266	103984	2734279	
21-22	-9.95	-137.34	0.0012154	0.0001289	112912	77133	
3-6	27.07	353.53	0.002157	0.0002827	163898	11361	
6-9	27.07	337.10	0.0007629	0.0005911	436438	45795	
9-12	27.07	320.86	0.0007332	0.0005676	457584	47684	
12-15	27.07	182.12	0.0004312	0.0003668	422310	73600	
15-27	27.07	165.80	0.0003959	0.000343	418737	78906	
16-28	-820.03	111.62	0.0008769	-0.0003704	127285	2213507	
40-41	-3.98	-169.70	0.001714	0.0001836	110675	16770	
21-29	-503.27	155.23	0.0014422	-0.0002269	107627	2620891	
45-46	-10.95	-162.12	0.0014461	0.0001507	112181	72697	
27-30	25.79	206.02	0.0004611	0.0003969	428188	64977	
40-52	-732.53	181.32	0.0007619	-0.0003272	129571	2242732	
64-65	-4.13	-195.94	0.0017823	0.0001866	110497	21889	
45-53	-369.19	161.69	0.001576	-0.0001986	102595	2365619	
69-70	-4.58	-167.49	0.0015024	0.0001625	111480	28181	
51-54	15.62	130.19	0.0003023	0.0002491	436564	62686	
88-89	-5.49	-174.93	0.0015717	0.0001681	111299	32652	
69-77	-546.75	159.63	0.0015781	-0.0001827	101275	2991594	
93-94	-4.42	-186.14	0.0016789	0.0001791	110868	24678	
75-78	3.65	95.28	0.0002095	0.0001552	454779	23510	
78-81	3.65	55.99	0.0001251	0.0000966	447245	37769	
84-87	3.65	-22.61	0.0000537	0.0000468	420756	77895	
88-100	-577.18	84.76	0.0006321	-0.0002395	134084	2409393	
93-101	-480.87	151.69	0.0015568	-0.000138	97565	3484563	
99-102	-29.45	119.49	0.0002129	0.000087	560986	338233	

C.No.	N(t)	M(tm)	x(1/m)	$\frac{du}{ds}$	EI(tm ²)	FA(t)
102-105	-29.45	83.29	0.0001356	0.0000368	613715	799223
112-124	-488.12	95.82	0.0007472	-0.000207	128317	2357623
117-125	-459.21	140.19	0.001498	-0.0001288	97578	3570508
141-142	-9.31	-358.61	0.001423	0.0001591	111456	1947
123-126	-46.17	107.98	0.0001737	0.0000422	621441	950288
136-148	-421.93	87.15	0.0006526	-0.0001749	137477	2411983
141-149	-415.12	124.76	0.0012353	-0.0001275	102654	9253982
147-150	-50.45	108.29	0.0001631	0.0000186	669385	2707193
160-172	-358.82	74.47	0.0022523	-0.000229	32063	1566667
184-185	-15.82	-161.58	0.0014367	0.000145	112466	109084
165-173	-370.12	111.81	0.0013756	-0.0000897	23484	4125240
184-196	-285.26	75.16	0.0025821	-0.0001697	29106	2599191
189-197	-341.54	95.69	0.0005792	-0.000108	26937	3161819
195-198	-60.68	81.99	0.000123	-0.0000396	666361	1532206
208-220	-214.13	72.22	0.0027983	0.0000122	25808	17410400
213-221	-313.15	98.67	0.0038549	-0.0000406	25596	7665358
232-244	-159.15	56.16	0.0021921	0.0000298	15745	5331622
261-262	40.23	-69.10	0.0008263	0.0001382	197920	290934
264-265	40.23	92.09	0.0008532	0.0001412	187933	284863
243-246	-60.12	90.42	0.0001436	-0.0000288	629455	2081040
256-268	-115.81	27.34	0.005744	0.0000238	4760	3417907
261-269	-216.81	38.86	0.0062236	-0.0003049	5441	711042
267-270	-54.88	125.79	0.0003241	0.0000449	388116	1221288
270-273	-54.88	83.36	0.0001781	-0.0000346	467880	1584561
280-292	-78.30	27.61	0.0006793	0.0002459	4134	318302
291-294	-48.83	37.00	0.0000573	-0.0000673	644952	725076
303-315	-48.83	-51.14	0.0000895	-0.0000596	571177	616103
304-316	-42.56	25.57	0.0006988	0.0004172	3706	101991
351-363	-15.75	-34.67	0.0000862	0.0000113	402027	1388630

Yükleme 7:

Bu yüklemede esdeğer statik yüklerin 6 ile çarptımları çerçeveye yüklenmiştir. Yani çerçeveye gelen deprem yükleri altı kat arttırılmıştır. Tablo 3.7 de elemanlara gelen yükler ve sonuçları gösterilmiştir. Örneğin (1-4) çubuğuna 1121,19 ton basınc ile 214,23 tm moment, (2-5) çubuğuna 420,53 ton basınc ile 216,07 tm moment, (3-6) çubuğuna 54,22 ton çekme ile 353,64 tm moment etkimiştir.

Orta kolona ait çubuklarda normal basınc kuvveti azalmaya devam etmektedir. Örneğin bir önceki yüklemede 619,62 ton basınc kuvvetine sahip (2-5) çubuğunun normal basınc kuvveti 420,53 ton olup, yaklaşık 200 ton azalma göstermiştir. Kenar kolona ait çubuklarda normal basınc kuvvetinin artmağa devam ettiği gözlenmektedir. Bu yüklemede perdeye ait üç çubuk elemanında plastik mafsal olusmuştur. Bu üç eleman (3-6), (6-9), (9-12) nolu elemanlardır. Bu üç elemanın çekme kuvvetleri aynı olup 54,22 tondur. (3-6) çubuğuna 353,64 tm moment, (6-9) çubuğuna 336,54 tm moment, (9-12) çubuğuna 319,44 tm moment etkimiştir. Bir önceki yüklemede çekme kuvvetine sahip çubuk elemanlarında, bu yüklemede çekme kuvvetlerinde artış gözlenmiştir. Çekme kuvveti, perde çubuk elemanlarında (99-102) nolu elemandan itibaren basınc haline dönüsmüslərdir. (99-102) nolu elemana etkiyen normal kuvvet 2,34 ton basıncıdır. Plastik mafsal olusan bu üç perde elemanında, plastik mafsal aslında momentin 318 tm'lik değerinde oluşmuştur. Yani plastik moment 318 tm dir. Betondaki kısılma plastik mafsal ve aynı normal kuvvet altında $\epsilon = 0,0009$ dur. Yani sınır değerinden oldukça uzaktadır. Çelikteki uzama $\epsilon = 0,0117$ dir. Sınır değer asılmıştır. Bu anda şəkildəğistirmeler $\chi = 0,0042779$ $1/m$
 $\frac{du}{ds} = 0,0055154$ olmustur. Bu anda bu çubuğun eğilmi rıjitiği $EI = 74335 \text{ tm}^2$, uzama rıjitiği ise $EA = 9831 \text{ ton}$ değerine inmistir.

TABLO 3.7. -63-

C.No.	N(t)	M(tm)	x(1/m)	$\frac{du}{ds}$	EI(tm ²)	EA(t)
1-4	-1121.19	214.28	0.0019739	-0.0005469	100553	2649799
2-5	-420.53	216.07	0.002931	0.0000117	73718	5144752
5-8	-420.53	194.08	0.0024663	0.000023	78057	18223760
8-11	-420.53	172.08	0.0020557	-0.0000325	83706	12906636
21-22	-10.89	-145.98	0.0012956	0.0001362	112668	73289
12-15	54.22	174.13	0.0004524	0.0004593	354890	113049
15-27	54.22	157.03	0.0004153	0.0004358	378106	124399
40-41	-5.14	-259.08	0.0023931	0.0002366	100259	21716
21-29	-409.10	187.29	0.0023813	0.0000194	70640	21047888
29-32	-409.10	162.75	0.0000985	-0.000154	115379	2656594
32-35	-409.10	78.59	0.0005995	-0.0001719	131401	2379769
38-45	-409.10	-90.49	0.00073	-0.0001655	123954	2471863
45-46	-15.33	-169.23	0.0015091	0.0001523	112139	100596
27-30	50.02	207.72	0.0005196	0.00049	399743	102077
30-33	50.02	155.44	0.0004061	0.0004166	382762	120043
33-36	50.02	140.51	0.0003735	0.0003962	376121	126243
52-55	-915.59	77.49	0.0005769	-0.0004109	134318	2228079
64-65	-6.58	-360.90	0.0024916	0.000242	107920	27182
45-53	-409.14	199.27	0.0026204	0.0000511	76044	8005968
53-56	-409.14	107.60	0.0009595	-0.0001482	112131	2760198
69-70	-7.98	-175.90	0.0015786	0.0001662	111423	47993
51-54	37.23	135.40	0.0003448	0.0003379	392691	110170
64-76	-797.76	140.76	0.0011415	-0.0003619	123301	2204000
88-89	-5.33	-246.87	0.0022676	0.0002261	108867	27987
69-77	-411.82	202.53	0.002679	0.0000564	75599	7297580
77-80	-411.82	169.88	0.0009895	-0.0001472	111042	2796496
86-93	-411.82	-101.91	0.0008751	-0.000157	116444	2621879
93-94	-0.54	-163.09	0.0014647	0.000163	111340	3313

C.No.	N(t)	M(tm)	x(1/m)	$\frac{du}{ds}$		EI(tm ²)	EA(t)
				ds	du		
78-81	22.09	84.06	0.0002124	0.000206	395718	107213	
81-84	22.09	72.78	0.0001983	0.0001915	387548	115328	
109-112	-707.37	-74.83	0.000555	-0.0003106	134818	2276843	
112-113	-8.01	-261.90	0.0024195	0.0002354	108241	34014	
93-101	-377.60	172.18	0.002166	0.000181	79491	20798736	
117-118	-8.99	-161.37	0.0014432	0.0001609	111421	5963	
99-102	-2.34	162.95	0.000217	0.0001464	474259	15979	
102-105	-2.34	57.37	0.0001496	0.0000934	479097	25092	
105-108	-2.34	57.21	0.0001188	0.0000782	481448	23915	
112-124	-591.94	127.33	0.0010575	-0.0002502	120405	2365091	
136-137	-11.47	-230.78	0.0021045	0.0002081	109659	55109	
117-125	-381.44	169.03	0.0020962	0.0000856	50662	67112672	
141-142	0.25	-158.90	0.0014269	0.0001601	111405	1561	
123-126	-14.13	102.53	0.0001987	0.000108	515962	130745	
126-129	-14.13	57.62	0.0001237	0.000057	546580	247590	
129-132	-14.13	57.64	0.0001023	0.0000427	563042	330863	
136-148	-508.01	114.43	0.0009533	-0.0002078	120029	2444636	
160-161	-10.09	-219.67	0.0019969	0.0002408	110005	50234	
141-149	-353.60	147.75	0.0017579	-0.0008161	84046	21902048	
158-165	-353.60	-100.20	0.000926	-0.0001163	106199	3038212	
165-166	1.37	-146.07	0.0013264	0.0001513	111630	9051	
147-150	-25.89	107.21	0.0001917	0.0000798	559171	324204	
150-153	-25.89	72.13	0.0001168	0.000031	617412	835030	
160-172	-428.15	99.74	0.0033918	-0.0002482	29406	1724912	
184-185	-16.52	-211.21	0.0019093	0.0001869	110619	88377	
165-173	-323.37	135.08	0.0002968	0.0001492	21579	2166634	
189-190	-1.51	-107.39	0.00095	0.0001095	113036	13786	
171-174	-35.98	109.49	0.0002288	0.0000684	478538	525789	
267-270	-49.76	148.64	0.0004171	0.0001154	356352	431001	

Yükleme 8:

Bu yüklemede esdeğer statik yüklerin 7 ile çarçılaları çerçeveye yüklenmiştir. Yani çerçeveye gelen deprem yükleri 7 kat arttırılmıştır. Tablo 3.8 de elemanlara gelen yükler ve sonuçları gösterilmiştir. Örneğin (1-4) çubuğuna 1470,49 ton basınc ile 341,09 tm moment, (2-5) çubuğuna 20,05 ton basınc ile 332,18 tm moment, (3-6) çubuğuna 3.04 ton çekme ile 15,77 tm moment etkimiştir. Bir önceki yüklemede plastik mafsal oluşan (3-6) çubuğunda normal kuvvet ve momentin küçük değer aldığı gözlenmektedir. Orta kolon elemanlarındaki normal kuvvet azalması devam etmiş ve birinci kattaki elemanlarda 20,05 tona kadar inmiştir. Kenar kolon elemanlarındaki normal kuvvet artması da devam etmiştir. Bu yüklemede yapı göçmüştür. Perdenin, ortadaki ve kenardaki kolonların en alt elemanlarında plastik mafsal oluşmuştur. Ayrıca diğer bazı çubuk elemanlarında ve ilk kez kirise ait bazı çubuklarda da plastik mafsal oluşmuştur. Bu çubukların numaraları, yükleri, plastik momentleri ve plastik mafsalın ilk olduğu anda (plastik momentin yüklü olduğu durum) çekme donatısındaki uzama, basınc bölgesindeki betonun dış çekme lifindeki kısalma aşağıda verilmiştir.

(1-4) çubuğuna 1470,49 ton basınc ve 341,09 tm moment etkimiştir. Bu yükler altında bu çubukta plastik mafsal oluşmuştur. Betondaki kısalma $\epsilon = 0,00497$ değerini almıştır. Çelikteki uzama $\epsilon = 0,0043$ dir. Beton için sınır değer ($\epsilon_1 = 0,0035$) asılmıştır. (4-7) çubuğunda 147,49 ton basınc, 311,14 tm moment altında plastik moment oluşmamıştır ama bu duruma yakındır. Bu çubukta betondaki kısalma $\epsilon = 0,00298$ değerini almıştır ve sınır değerden küçüktiir. (2-5), (5-8), (8-11) çubuklarında da plastik mafsal oluşmuştur. Plastik moment 192 tm dir. Bu moment altında betondaki kısalma $\epsilon = 0,0021$ dir ve sınır değer asılmıştır ($\epsilon = 0,0035$). Çelikteki kısalma ise $\epsilon = 0,0119$ dur ve sınır değer asılmıştır.

Çerçevenin (40-41) nolu kiris elemanında 4,73 ton çekme 408,11 tm moment etkisiyle plastik mafsal oluşmuştur. Plastik moment 384 tm dir. Plastik moment altında betondaki kısalma $\epsilon = 0,00359$, çelikteki kısalma $\epsilon = 0,0078$ dir. Betonda sınır değer aşılmış, çelikte sınırın altında kalınmıştır. (21-29) çubugunda 77,85 ton basınc, 219,75 tm moment etkisiyle plastik mafsal oluşmuştur. Plastik moment 210,2 tm dir. Plastik moment ve aynı normal kuvvet altında, betondaki kısalma $\epsilon = 0,0021$, çelikteki uzama $\epsilon = 0,0101$ dir. Çelikte sınır değer aşılmıştır.

(64-65) nolu kiriş elemanında 0,40 ton çekme 395,82 tm moment etkisiyle plastik mafsal oluşmuştur. Plastik moment 385,1 tm dir. Plastik moment ve aynı normal kuvvet altında, betondaki kısalma $\epsilon = 0,00356$ çelikteki uzama $\epsilon = 0,00768$ dir. Betonda sınır değer aşılmış çelikte ise sınır değerine ulaşılmamıştır.

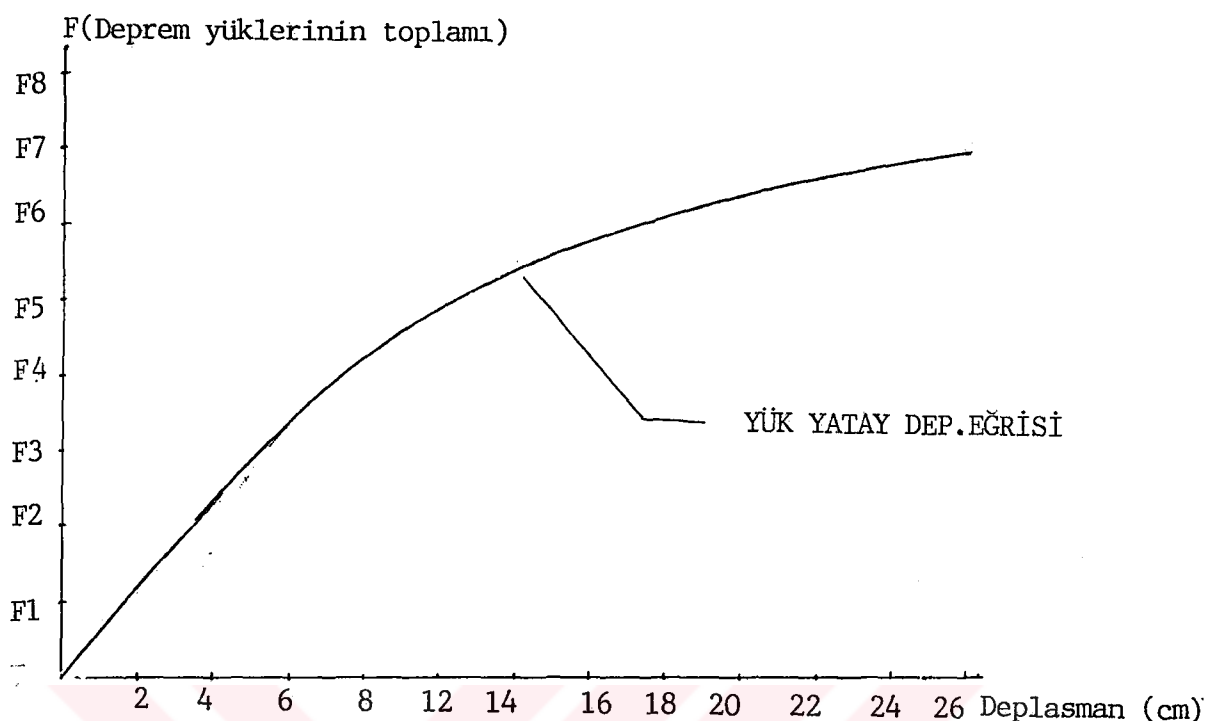
(165-173) nolu çubuk elemanında 254,89 ton basınc ile 161,26 tm moment etkisiyle plastik mafsal oluşmuştur. Plastik moment 136,6 tm dir. Plastik moment ve aynı normal kuvvet altında betondaki kısalma $\epsilon = 0,00351$ ile sınır değerini aşmış, çelikteki uzama $\epsilon = 0,00888$ ile sınır değerinin altında kalmıştır. (256-263) nolu elemanda 142,39 ton çekme ile 45,82 tm moment etkisiyle plastik mafsal oluşmuştur. Plastik moment 43 tm dir. Bu plastik moment ve aynı normal kuvvet altında betondaki kısalma $\epsilon = 0,00372$, çelikteki uzama $\epsilon = 0,0065$ dir. Betonda sınır değer aşılmış, çelikte ise sınır değerine ulaşılmamıştır. (280-292) nolu çubuk elemanında 87,78 ton çekme kuvveti ile 39,93 tm moment etkisiyle plastik mafsal oluşmuştur.

Plastik moment 36,9 tm dir. Bu plastik moment altında ve aynı normal kuvvet altında, betondaki kısalma = 0,0032, çelikteki uzama 0,0103 dür. Beton ve çelikte sınır değere ulaşmıştır. (309-317) nolu çubuk elemanında 112, 53 ton çekme kuvveti ile 43,24 tm moment etkisiyle plastik moment oluşmuştur. Plastik moment 39,92 tm dir. Bu plastik moment altında ve aynı normal kuvvet altında, betondaki kısalma =0,00356, çelikteki uzama =0,00889 bulunmuştur. (16-17) nolu kiriş elemanına 351.48 tm moment etkimiştir. Bu çubuğa etkiyen normal kuvvet sıfır değerini almıştır. Bu elemanda plastik mafsal oluşmamış ama plastik şekil değiştirmeler olmuş ve moment, plastik moment degerine yaklaşmıştır.

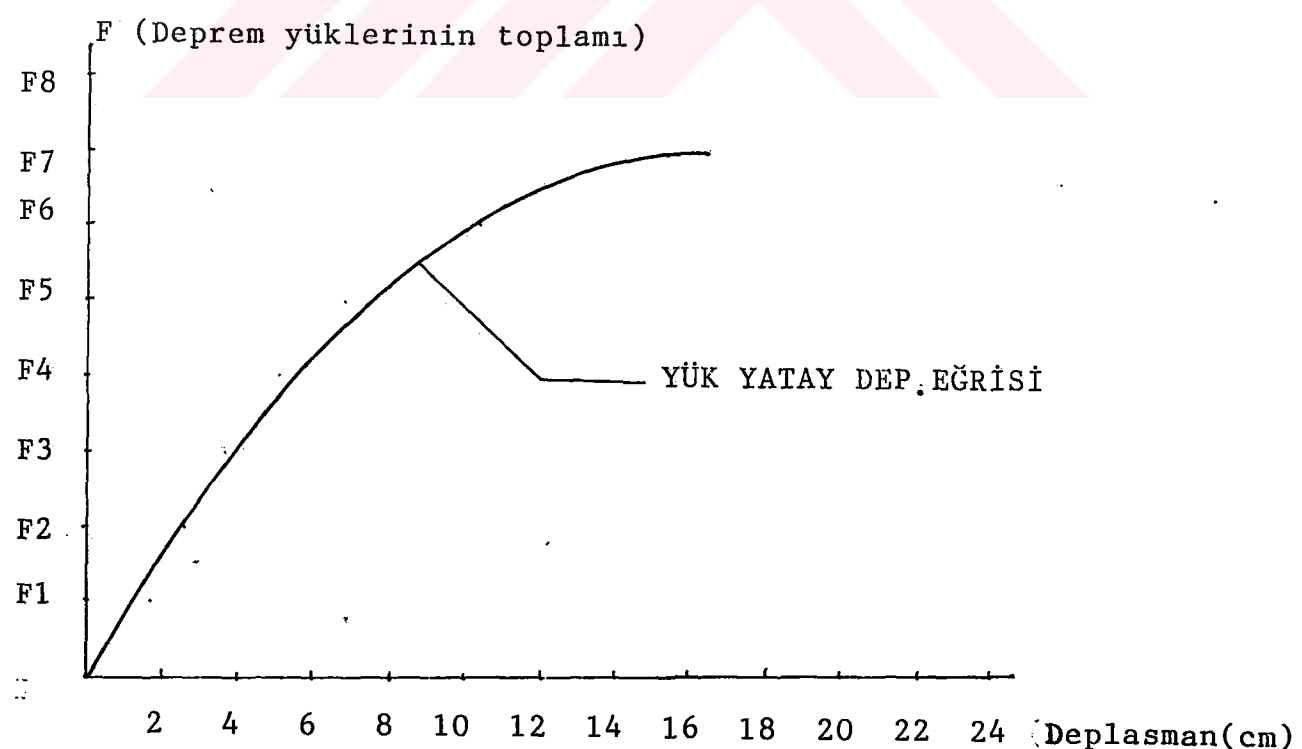
TABLO 3.8. -68-

C.No.	N(t)	M(tm)	x(1/m)	$\frac{du}{ds}$	EI(tm ²)	EA(t)
1-4	-1470.49	341.09	0.0054621	-0.001592	40308	323652
4-7	-1470.49	311.14	0.0040734	-0.0010301	63844	1427485
7-10	-1470.49	281.19	0.0032204	-0.0008418	87315	1746835
10-13	-1470.49	26.23	0.0001858	-0.0007025	142269	2092940
11-14	-20.05	-36.64	0.0006296	0.0000958	58192	209130
14-21	-20.05	-71.76	0.0013082	0.0002195	54854	91337
21-22	17.65	-103.77	0.0009361	0.000127	110852	138979
15-27	3.04	-5.95	0.0000169	0.0000207	350475	146408
16-28	-1318.06	243.35	0.0023957	-0.0006836	101578	1928051
28-31	-1318.06	140.49	0.0011625	-0.0006371	120343	2068700
31-34	-1318.06	111.11	0.000071	-0.0006276	127564	2099967
34-37	-1318.06	-65.22	0.0004774	-0.0006192	136596	2128623
37-40	-1318.06	-94.69	0.0007222	-0.0006218	136984	2112687
29-32	-77.85	109.16	0.0018376	0.0002507	59403	310517
32-35	-77.85	77.56	0.0012212	0.0001434	65509	542749
35-38	-77.85	-112.92	0.0018939	0.0002604	59149	298891
38-45	-77.85	-143.62	0.0026225	0.0003664	58335	211276
45-46	10.89	-119.06	0.0010682	0.0001341	111454	79674
27-30	8.41	68.43	0.0001589	0.0001320	430560	63703
40-52	-1146.92	210.65	0.0019267	-0.0005636	109330	2034870
52-55	-1146.92	115.08	0.0009002	-0.0005356	126707	2141334
45-53	-149.55	212.44	0.0036789	0.000477	57745	313480
59-62	-149.55	-106.81	0.0015549	0.0001311	68690	1140035
62-69	-149.55	-137.22	0.002155	0.0002301	63674	649676
69-70	4.07	-132.62	0.0011861	0.0001398	111806	29100
51-54	8.97	88.86	0.0002036	0.0001643	436388	54590
64-76	-981.16	196.86	0.0017662	-0.0004594	111456	2135678
76-79	-981.16	107.49	0.0000375	-0.0004488	128333	2186036

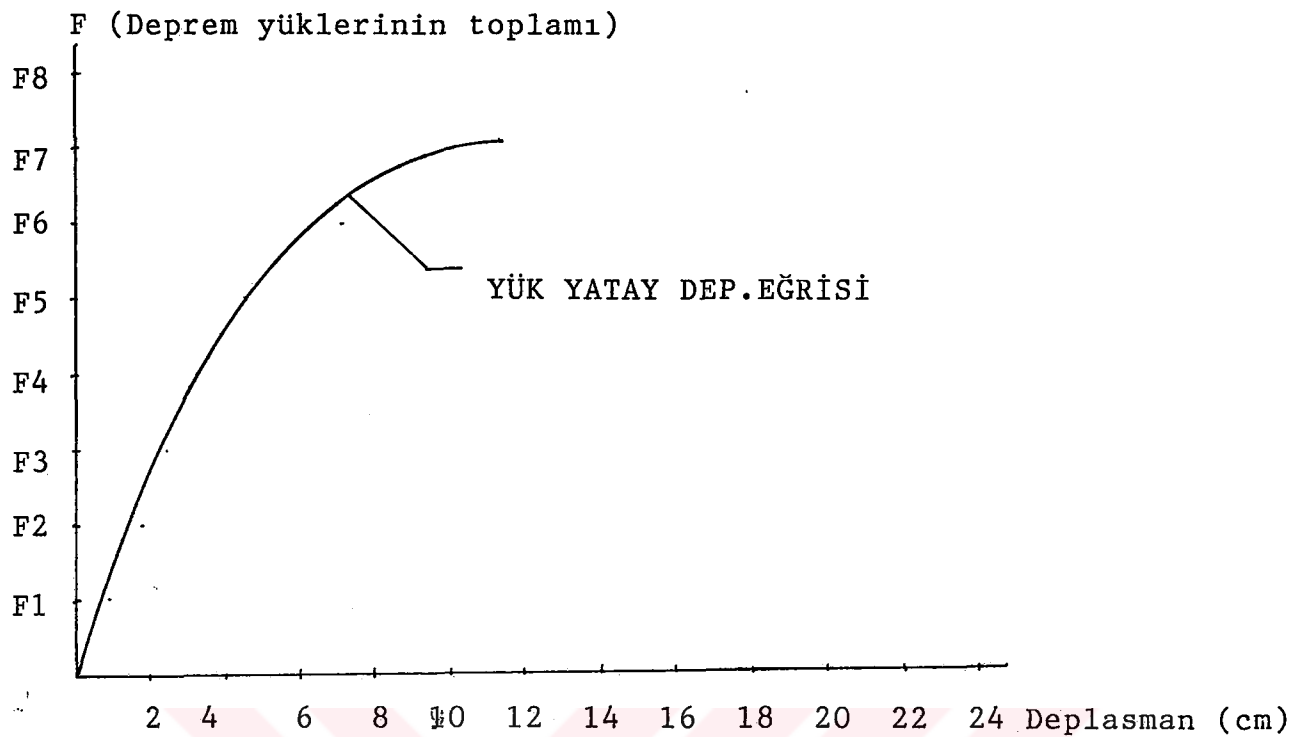
C.No.	N(t)	M(tm)	x(1/m)	$\frac{du}{ds}$		EI(tm ²)	FA(t)
				ds	du		
88-89	-2.12	-354.96	0.0034129	0.0002967	104805	7143	
69-77	-211.05	221.85	0.0036781	0.0004069	60343	518622	
86-93	-211.05	-119.24	0.0016057	0.0000831	74260	2537692	
93-94	2.29	-106.74	0.0009478	0.000113	112609	20263	
75-78	4.71	99.58	0.0002209	0.0001657	451994	26415	
88-100	-857.94	169.81	0.0014458	-0.0003908	116753	2194817	
109-112	-857.94	-103.62	0.0008023	-0.000387	129143	2216410	
112-113	-3.82	-350.49	0.0033619	0.0002928	104252	13045	
93-101	-228.85	189.32	0.0029492	0.0002755	64192	630459	
110-117	-228.85	-141.74	0.0019325	0.0001269	71134	1802393	
117-118	3.34	-144.07	0.0012911	0.0001498	111560	22295	
99-102	-0.71	77.45	0.0001647	0.0001138	478276	6234	
112-124	-709.64	163.96	0.0014582	-0.0003	112433	2365734	
133-136	-709.64	-84.73	0.0006373	-0.000313	132931	2266766	
136-137	-10.61	-307.54	0.0028905	0.0002625	106396	40413	
117-125	-268.14	192.57	0.0028931	0.0002265	66560	1183628	
134-141	-268.14	-122.04	0.0014954	0.0000177	81607	15066892	
141-142	0.69	-145.71	0.0013038	0.0001484	111750	4649	
123-126	-9.72	93.56	0.0001859	0.0001086	563254	69493	
136-148	-603.02	147.13	0.0013127	-0.0002419	112075	2492373	
160-161	-11.26	-268.16	0.0026865	0.0002497	107250	45082	
141-149	-264.50	174.74	0.0025423	0.0001771	68731	1492824	
165-166	2.42	-137.77	0.001232	0.0001429	111821	16933	
147-150	-19.37	107.31	0.0002804	0.0000972	535340	205295	
160-172	-502.81	130.13	0.0050348	-0.000268	25846	1875544	
184-185	-16.44	-274.17	0.0025387	0.0002345	107996	70079	
189-190	3.31	-76.50	0.0006764	0.0000839	113097	39407	
171-174	-29.80	123.72	0.0002777	0.0001144	445368	260332	
351-363	-13.28	-54.99	0.0001836	0.0000684	335927	194001	



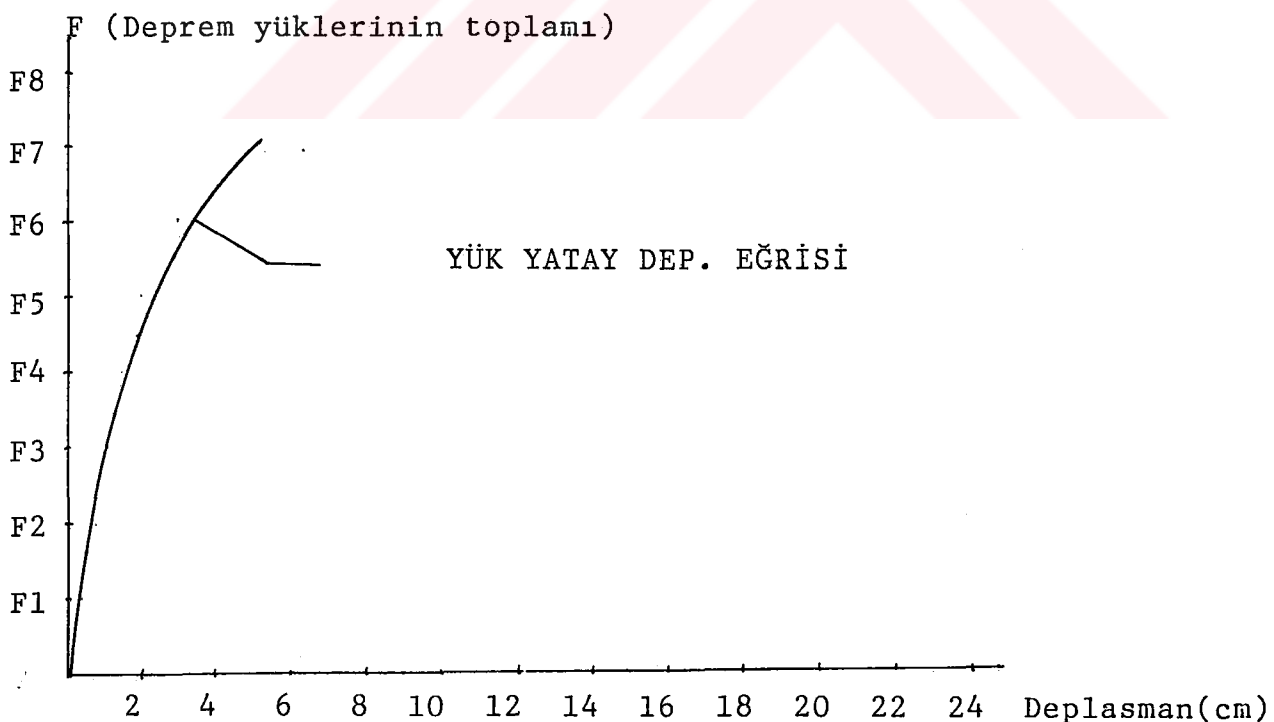
ŞEKİL 3.6. : 363 Nolu Düğüm Noktası için Yük-Yatay Deplasman Eğrisi



ŞEKİL 3.7. : 267 Nolu Düğüm Noktası için Yük-Yatay Deplasman Eğrisi



ŞEKİL 3.8. : 195 Nolu Düğüm Noktası için Yük-Yatay Deplasman Eğrisi



ŞEKİL 3.9. : 99 Nolu Düğüm Noktası için Yük-Yatay Deplasman Eğrisi

BÖLÜM 4

SONUÇLAR

Emniyet gerilmesi yöntemine göre boyutlandırılan yapıların göçmeye karşı emniyeti tam olarak belirlenemez. Sistemin ve malzemenin özellikleri, yükleme şekli gibi çeşitli etkenlere bağlıdır.

Bir yapı sistemi gerçekleştiriliyorken, göçmeye karşı istenen bir güvenlik sağlanarak malzemenin lineer-elastik sınırın üstündeki taşıma gücünden faydalana bilir. Bu güvenlik saptanırken, işletme sırasında dış etkiler altında, yapıda meydana gelen yerdeğiştirme ve çatlak kalınlıklarının sınırlı kalmaları istenir.

Bu çalışmada malzeme bakımından lineer olmayan sistemlerin göçme yüklerinin bulunması için bir yük artımı yöntemi verilmiştir.

Bu amaçla eşdeğer çerçeveyenin artan yatay yükler altında, çözümleri bulunarak, davranışları incelenmiştir.

Yük artışı sonunda çerçevenin bir kesiti donatının akması veya betonun ezilmesiyle plastikleşir. Plastikleşen kesit, daha fazla eğilme momenti taşıyamaz ve belirli bir eğilme momentini karşılayabilen bir mafsal gibi çalışır. Bu mafsal, plastik mafsal ve mafsalı oluşturan eğilme momenti, plastik moment olarak adlandırılır. Sürekli artan yük etkisiyle, plastik mafsalın olduğu kesimde deformasyon (dönme, sehim) artar fakat eğilme momenti artmaz, sabit kalır. Bu yeni dönmeleri oluşturan momentler, sistemin henüz plastikleşmemiş olan öteki kesitlerine dağılır. Artık momentlerin eklenmesiyle, çerçevenin öteki kritik kesitlerindeki momentler, plastik değere ulaşır.

Bu kesitlerde de plastik mafsallar oluşur. Yüklerin artışına koşut olarak, ardışık oluşan plastik mafsalların sayısı, sistemin hiperstatiklik derecesine ulaşınca, sistem izolastik duruma geçer ve bir mafsal daha ulaşınca sistem "mekanizma durumu" na dönişerek göcer.

Eşdeğer çerçeveye, artan yatay yükler altında çözülmürken her adımda azalan atalet momentleri kullanılmıştır. Böyle olmasa idi, bulunan yüklere göçme yükii demek mümkün olmayacaktı. Böyle bir hesapla, çerçeveye ait kesitlerin bağlangıçta olduğu gibi homojen kaldığı kabul edilmektedir. Halbuki yükün her artan değeri için kesit rıjilikleri değişecek, kesitte çatlaklar oluşacaktır. Bu çatlaklar kesitin zayıflamasına, atalet momentlerinin küçülmesine, uzama ve eğilme rıjiliklerinin küçülmesine neden olacaktır. Bu küçülme sonucunda kesitte, kesit tesirleri artacak dolayısıyla çerçeveye, taşıma gücü en zayıf kesitlerde mekanizma durumuna gelecektir.

Kırılma sırasındaki toplam şekildeğiştirmenin lineer şekildeğiştirmeye oranına süneklik oranı denilmektedir. Bu oranın büyük değerleri kesitin süneklik özelliğini, küçük değerleri ise kesitin gevreklik özelliğini belirtir.

I.Mertebe Teorisi ile yapılan hesapta sisteme etkiyen kuvvetler şekildeğiştirmemiş durumda gözüne alınmaktadır. Gittikçe daha yüksek mukavemetli malzemelerin kullanılması ve bunların elastisite modüllerinin aynı oranda yüksek olmaması sonucunda narinleşen yapıların şekildeğiştirmeleri de daha büyük olmakta ve bu yüzden bazı sistemlerde meyadana gelen tesirler I.Mertebe Teorisine göre boyutlandırılan yapıların yıkılmasına sebep olacak değerlere kadar yükseltilmektedir.

Bu çalışmada göçme yükünün daha doğru ve hassas olarak bulunabilmesi için II.Mertebe Teorisinin uygulanması yani dış kuvvetlerin şekildeğiştirmiş sistem üzerinde yazılması gerekiirdi.

Esdeğer çerçeveye, statik metod ile bulunan ve dösemeye hizalarına etki eden esdeğer statik yüklerin yedi katının çerçeveye yüklənməsi ilə sekizinci yükləmə sonucunda gəçmişdir. Bu gəçmedə, plastik mafsal olusumları ilə çerçevenin çubuk elementlarının uzama ve eñilme riyitliklerindeki azalmanın rolu vardır.

KAYNAKLAR

- 【1】 ÇAKIROĞLU,A., ÖZER, E., Malzeme ve Geometri Değişimi Bakımdan Lineer Olmayan Sistemler, Matbaa Teknisyenleri Basimevi, İstanbul, 1980.
- 【2】 KUMBASAR, N., CELEP, Z., Çözümlü Örneklerle Betonarme, İstanbul.
- 【3】 KUMBASAR, N., ÖZDEN, K., SARIAKÇALI, S., Betonarme Yüksek Yapılar, 1983.
- 【4】 T.C.BAYINDIRLIK VE İSKAN BAKANLIĞI AFET İŞLERİ GENEL MİDÜRLÜĞÜ DEPREM ARAŞTIRMA DAİRESİ BASKANLIĞI, Afet Bölgelerinde Yapılacak Yapılar Hakkında Yönetmelik, Taslak, Mart 1991.

ÖZGEÇMİS

Okan İSMAİLOĞLU 1967 yılında Buldan'da doğdu. İlk, Orta ve Lise öğrenimini Tekirdağ'da tamamladı. 1984 yılında İ.T.Ü. İnşaat Fakültesi, İnşaat Mühendisliği Bölümünde eğitime başladı. 1988 yılında İnşaat Mühendisi olarak mezun oldu.

Aynı yıl İ.T.Ü. Fen Bilimleri Enstitüsü'nde İnşaat Ana Bilim Dalı'na bağlı Yapı Mühendisliği bölümünde başladı. Çeşitli özel şirketlerde şantiye mühendisi olarak çalışmış olan Okan İSMAİLOĞLU, İngilizce bilmektedir.